

Vysoká škola strojní a textilní v Liberci
Fakulta strojní

Obor 23-34-8
Stavba výrobních strojů a zařízení
Baličí a polygrafické stroje

Katedra částí strojů

Kinematická analýza nakládacího systému archových
tiskových strojů AD 414 a AD 514

Zdeňka Pytlounová

Vedoucí diplomové práce: Ing. Ludvík Prášil
VŠST Liberec, KST

Konzultanti: Ing. Jiří Wolf, Adast Adamov
Ing. Vladimír Wasserbauer, CSc
VŠST Liberec, KTK

Počet stran : 71
Počet obrázků: 15
Počet tabulek: 5
Počet příloh : 14

DT 681.62

26. května 1978

Vysoká škola: VŠET Liberec
Fakulta: strojní

Katedra: řízení strojů
Školní rok: 1977/78

DIPLOMOVÝ ÚKOL

pro Zdeňka Fytlovou

obor 23-34-3 výrobní stroje a zařízení, palicí a polygrafické stroje

VYŠOKÁ ŠKOLA PRAVOMOCNÉ
UNIVERSITY LIBEREC
LIBEREC 1, 400 01 ČESKÁ SLOVAKIA
IČ 253 77

Protože jste splnil požadavky učebního plánu, zadává Vám vedoucí katedry ve smyslu směrnic ministerstva školství a kultury o státních závěrečných zkouškách tento diplomový úkol:

Název tématu: Kinematická analýza nákladacího systému
archeových tiskových strojů na fil a na cípe

Pokyny pro vypracování:

Rostoucí požadavky na zvyšování průduku jsou příčinou zvyšování rychlosťi jednotlivých mechanizmů pracovních tiskových strojů, tedy i mechanizmů nákladacího systému. Pro optimální funkci něj vyšších rychlosťech je nutné využít všechn rezervy ve funkčních časech pro vlastní rovnaní, zaplatit plynulé předání archu z nákladací klavy do dopravník, konstrukčně upravit stávající mechanizmy z hlediska dynamických dřínek, životnosti a spolehlivosti atd.. Komplexní řešení této problematiky je značně rozsáhlé a časově náročné. V rámci své práce se proto zaměřte na zpracování těchto bodů:

1. Provedete kinematickou analýzu polohy dopravníku nákladací
2. Provedete kinematickou analýzu mechanismu svažek nákladací klavy (sestrojte výpočetový matematický model a výpočetový program pro číslicový počítač)
3. Řešete dynamické počty ve vedení svažek nákladací klavy
4. Zjednodušte výsledky provedené analýzy a určete možnosti upravu stávajících mechanizmů.

Autorské právo je vlastnictvím státu.
Zákonem chráněný dílčí právními zákonami
12. čl. zákona č. 111/1982 Sb. o autorském právě
a 13. čl. zákona č. 112/1982 Sb. o právě tvůrce.

V 1/78
+ fil.

Vysoká škola: VŠST Liberec
Fakulta: strojní

Katedra: částí strojů
Školní rok: 1977/78

DIPLOMOVÝ ÚKOL

pro Zdena Pytlounová
obor 23-34-8 výrobní stroje a zařízení, balicí a polygrafické stroje

VYSOKÁ ŠKOLA STROJNÍ A TEXTILNÍ
Ústřední fakulta
LIBEREC 1, ČESkoslovenská 5
I-SC 401-7

Protože jste splnil^a požadavky učebního plánu, zadává Vám vedoucí katedry ve smyslu směrnic ministerstva školství a kultury o státních závěrečných zkouškách tento diplomový úkol:

Název tématu: Kinematická analýza nakládacího systému
archových tiskových strojů AD 414 a AD 514

Pokyny pro vypracování:

Rostoucí požadavky na zvyšování produkce jsou příčinou zvyšování rychloběžnosti jednotlivých mechanizmů archových tiskových strojů, tedy i mechanizmů nakládacího systému. Pro optimální funkci při vyšších rychlostech je především nutné využít všech rezerv ve funkčních časech pro vlastní rovnání, zajistit plynulé předání archu z nakládací hlavy na dopravník, konstrukčně upravit stávající mechanizmy z hlediska dynamických účinků, životnosti a spolehlivosti atd.. Komplexní řešení této problematiky je značně rozsáhlé a časově náročné. V diplomové práci se proto zaměřte na zpracování těchto úkolů:

1. Proveďte kinematickou analýzu pohonu dopravníku nakladače
2. Proveďte kinematickou analýzu mechanizmu savek nakládací hlavy (sestavte výpočtový matematický model a výpočtový program pro číslicový počítač)
3. Řešte dynamické poměry ve vedení savek nakládací hlavy
4. Zhodnoťte výsledky provedené analýzy a navrhněte úpravu stávajících mechanizmů.

V 108 | 1978
+ pullaha

Autorské právo se řídí směrnicemi MŠK pro státní závěrečné zkoušky č. 1/71, 727/72, II, 2 za dnu 13. července 1972. Verze 4. MŠK. XII. sek. 21 v. 1972. 21. 8. 1972 § 19 autorského práva č 115/68 S.

Rozsah grafických laboratorních prací: výkresová dokumentace nutná pro změny
v konstrukci nakládací hlavy

Rozsah průvodní zprávy: 35 - 40 stran,
výpisu programů,

Seznam odborné literatury:

VOLF, J.: Rozbor funkce rovnání nakladače. Kandid. minimum, VŠST
Liberec, 1976.

VOLF, J.: Maloformátové offsetové stroje ADAST Dominant 414 a 514.
Typografia, č. 10, 1976.

PRÁŠIL, L.: Kinematická analýza pohonu dopravníku nakladače tiskových
strojů AD 724 a 714./Výzkumná zpráva/, VŠST Liberec 1974.

Výkresová dokumentace stroje AD 414.

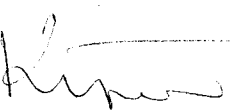
Vedoucí diplomové práce: Ing. Ludvík Prášil

Konsultanti: Ing. Vladimír Wasserbauer
Ing. Jiří Volf, Adast Adamov

Datum zahájení diplomové práce: 10. 10. 1977

Datum odevzdání diplomové práce: 26. 5. 1978

L. S.


Doc. Ing. Oldřich Krejčíř, CSc

Vedoucí katedry


Doc. RNDr. Bohuslav Stříž, CSc

Děkan

Místopřísežně prohlašuji, že jsem diplomovou práci
vypracovala samostatně s použitím uvedené literatury.

V Liberci dne 26. května 1978

Edna Šýškovová

Obsah

| | strana |
|--|--------|
| Označení veličin | 6 |
| Seznam příloh | 10 |
| 1. Úvod | 12 |
| 2. Funkce a konstrukce nakladače | 13 |
| 2.1. Uspořádání mechanismu pohonu savek nakládací hlavy | 14 |
| 2.2. Uspořádání mechanismu pohonu dopravníku nakladače | 15 |
| 3. Kinematická analýza pohonu dopravníku nakladače | 17 |
| 3.1. Převodová funkce prvního a druhého řádu | 19 |
| 3.2. Úhlové pootočení hnaného člena mechanismu | 20 |
| 3.3. Podmínky pro uskutečnění požadovaného pohybu | 21 |
| 3.4. Výpočet na číslicovém počítači, vývojový diagram a výpočtový program | 23 |
| 4. Kinematická analýza mechanismu savek nakládací hlavy tiskových strojů AD 414 a AD 514 | 30 |
| 4.1. Náhrada křivky vedení nosiče savek | 30 |
| 4.2. Sestavení algoritmu pro řešení mechanismu savek nakládací hlavy | 34 |
| 4.3. První část kinematické analýzy mechanismu nakládací hlavy | 34 |
| 4.4. Výpočet na číslicovém počítači, vývojový diagram a výpočtový program | 38 |
| 4.5. Druhá část kinematické analýzy mechanismu nakládací hlavy | 44 |
| 4.6. Výpočet na číslicovém počítači, vývojový diagram a výpočtový program | 50. |

| | |
|--|----|
| 5. Dynamické poměry v drážce vedení | 52 |
| 5.1. Sestavení algoritmu pro výpočet dynamických poměrů v drážce vedení | 55 |
| 5.2. Vývojový diagram a výpočtový program | 58 |
| 6. Vyhodnocení kinematické analýzy současného mechanismu | 62 |
| 7. Návrhy na úpravu stávajících mechanismů | 64 |
| 7.1. Návrh na úpravu bubnové večky HK-1-1644039 | 64 |
| 7.2. Změna tvaru drážky vedení HK-3-1644035b | 65 |
| 7.3. Úprava programů kinematické analýzy a programu dynamických poměrů | 66 |
| 7.4. Vyhodnocení vlivu úprav na kinematické a dynamické poměry | 67 |
| 8. Závěr | 69 |
| Použitá literatura | 71 |

Použitá označení

| | |
|----------------|---|
| B | - délka vahadla LN /mm/ |
| F_N | - normálná dynamická síla /N/ |
| I_C | - komplexně vyjádřený vektor \vec{i} |
| L_c | - vzdálenost os otáčení ozubených kol dopravníku /mm/ |
| L_{ckr} | - kritická vzdálenost os otáčení ozubených kol /mm/ |
| M | - silový moment /Nm/mm/ |
| N _C | - jednotkový vektor ve směru normály k vedení |
| $P'/x/$ | - první derivace Newtonova interpolačního polynomu |
| $P''/x/$ | - druhá derivace Newtonova interpolačního polynomu |
| R | - poloměr bubnové vačky /mm/ |
| R_d | - poloměr válce dopravníku /mm/ |
| R_i | - poloměr roztečné kružnice ozubeného kola /mm/ |
| S | - bod ve středu savky |
| S_a | - střed kruhového oblouku vedení |
| T | - těžiště tálka se savkami |
| Z | - komplexní číslo udávající polohu bodu v souřadném systému $(0; x', y')$ |
| \bar{Z} | - komplexně sdružené číslo k číslu Z |
| a', φ' | - polární souřadnice vačky |
| a | - zrychlení vyjádřené komplexním číslem |
| a_x, a_y | - složky zrychlení v souřadném systému $(0, x, y)$ |
| b | - vzdálenost kladičky E od osy otáčení vahadla /mm/ |
| c, l | - délka tálka PN /mm/ |
| c' | - vzdálenost osy otáčení vahadla od čela vačky /mm/ |
| d' | - průměr vahadla na počátku |

| | |
|------------------|---|
| e | - vzdálenost těžiště T od bodu P /mm/ |
| i_{ij} | - převod ozubených kol |
| k | - krok savky /mm/ |
| \bar{k}_a | - kruhový oblouk vedení |
| k_e | - směrnice přímky p_e |
| m | - hmotnost konstrukce táhla /kg/ |
| n | - otáčky stroje /l/hod/ |
| p_e | - přímka v souřadném systému $(O';x',y')$ |
| r_a | - poloměr kruhového oblouku vedení /mm/ |
| s | - parametr, resp. vzdálenost bodu B na přímce procházející body MB |
| u, w | - souřadnice v pravoúhlém souřadném systému $(\bar{O}; u, w)/mm/$ |
| v' | - obvodová rychlosť bubnové vačky /m/s/ |
| v_D | - rychlosť dopravníku v místě předání /m/s/ |
| v_S | - rychlosť savky v místě předání /m/s/ |
| v | - rychlosť vyjádřená komplexním číslem /m/s/ |
| v_x, v_y | - složky rychlosti v souřadném systému $(O, x, y)/m/s/$ |
| x', y' | - souřadnice bodu křivky vedení nosiče savek v souřadném systému (O', x', y') |
| x, y | - souřadnice bodu v pravoúhlém souřadném systému $(O; x, y)$ |
| x_{Sa}, y_{Sa} | - souřadnice středu kruhového oblouku vedení /mm/ |
| y_b | - průmět délky b vahadla do osy y /mm/ |
| y_{b1}, d' | - průmět délky b vahadla do osy y v počáteční poloze /mm/ |
| z | - zdvih savky |

- α - úhel přímky vedení, vztažený k ose x
 β - úhel pootočení táhla PN, vztažený k ose x
 Δz - rozdíl dvou komplexních čísel
 Δx - posunutí nakládací hlavy ve směru osy x /mm/
 σ - odchylka ramene EL od osy vahadla LN /rad/
 ε_u - úhlové zrychlení vahadla /1/s²/
 γ - směrový vektor přímky vedení, vyjádřený komplexním číslem
 $\bar{\gamma}$ - komplexně sdružené číslo k číslu γ
 λ - poměr délek
 μ_{ij} - převodová funkce prvního řádu
 μ - transformační úhel / °/
 ν_{ij} - převodová funkce druhého řádu
 φ_j - úhlová dráha členu j / °/
 φ_x - skutečný úhel pootočení bubnové vačky /rad/
 ψ - úhel, udávající polohu průvodiče BF vzhledem k ose x /rad/
 $\psi_1, \varphi(x)$ - pootočení vahadla / °/
 ω_j - úhlová rychlosť členu j /rad/s/
 ω_u - úhlová rychlosť vahadla /rad/s/
 ψ_e - mezní úhel, ohraňující jednotlivé oblasti vedení (rad)
 ω_{vac} - úhlová rychlosť vačky /rad/s/

- i,j - označení ozubených kol mechanismu dopravníku
- o - počáteční poloha
- e - označení přímek v souřadném systému ($O';x',y'$)
- a - označení kruhového oblouku vedení
- c - označení členů klikovéhadlového mechanismu
- t - označení mezního úhlu ψ
- u - označení členů mechanismu nakládací hlavy

Seznam příloh

1. Program kinematické analýzy dopravníku nakladače - výpis programu a výpočet pro: 10 000 ot/hod , $l_1=70,83$ mm, 85 mm.
2. Program 1. části kinematické analýzy nakládací hlavy / kinematické poměry vahadla/ : a) původní vačka,
b) upravená vačka.
3. Program 2. části kinematické analýzy nakládací hlavy / kinematické poměry táhla/ : a) původní vačka,
b) upravená vačka.
4. Dynamika v drážce vedení : a) původní vačka a původní vedení,
b) upravená vač. a původní vedení.
5. Program 2. části kinematické analýzy nakládací hlavy pro upravené vedení a upravenou vačku.
6. Program výpočtu dynamických poměrů v upraveném vedení pro upravenou vačku.
7. Grafický průběh rychlosti a zrychlení savky pro původní vedení a a) původní vačku,
b) upravenou vačku.
8. Grafický průběh dynamické síly v původní drážce vedení pro:
a) původní vačku,
b) upravenou vačku,
9. Průběh rychlosti a zrychlení savky pro upravené vedení a upravenou vačku.

10. Grafický průběh dynamické síly v drážce vedení pro upravenou vačku a upravené vedení.
11. Diagram posuvu archu pro $L_1 = 70,83 \text{ mm}, 85 \text{ mm}$ a $n = 10\ 000$ ot/hod.
12. Průběh rychlosti dopravníku s min. na 180 a 210 st.
13. Výrobní výkres upravené bubnové vačky.
14. Výrobní výkres upraveného vedení.

1. Úvod

Výkon archových offsetových strojů se v současné době u řady výrobců posunul nad hranici 10 000 výtisků za hod. Jako příklad lze uvést firmy Koenig - Bauer, Miller - Jo-henisberg a Heidelberg. Tento trend samozřejmě sledují při vývoji nových strojů i v n.p. Adamovské strojírny v Adamově.

Zvyšování výkonu offsetových strojů nelze zajistit pouhým zvýšením rychlosti stroje, ale je třeba hledat nová řešení nebo provést optimalizaci stávající konstrukce z hlediska dynamických účinků, životnosti a tuhosti součástí a i automatizaci tiskového procesu.

S rostoucí rychlostí rostou i nároky na zabezpečení požadovaného soutisku. Nakladeč u strojů AD 414 a AD 514 /i ostatních/, složený z nakládací hlavy a dopravníku, k tomu přispívají rozhodující měrou. Nakladečový soutisk je důležitý zvláště u vícebarevného tisku prováděného při několika průchodech archu strojem.

Zabezpečení optimálních podmínek tisku ze vysokých rychlostí vyžaduje pro řešenou skupinu nakladeče:

- využití všech rezerv ve funkčních časech mechanismů pro nakládání,
- optimalizaci veškerých mechanismů z dynamického hlediska,
- zajištění dokonalé funkce a prodloužení životnosti dopravních elementů nakladeče,
- snížení rychlosti pohybu archu po dopravníku,
- zajištění plynulosti předání archu z nakládací hlavy na nakladečový dopravník.

Tyto úkoly se staly podnětem pro zadání této diplomové práce. U dosud prováděných prací / 1 / a / 2 / byla sledována při vyšších rychlostech především kinematika pohybujícího se archu ne dopravníku a to z těchto hledisek:

- dosežení minimální rychlosti archu při dojezdu na čelní náložku,
- vytvoření dostatečné časové rezervy pro funkci boční náložky.

Změnou časového diagramu dopravovaného archu pro zvolenou šupinu však dochází zpravidla i ke změně rychlosti dopravníku v okamžiku předání archu z nakládací hlavy. Je proto nutné sledovat tento okamžik, aby bylo doseženo plynulosti předání archu.

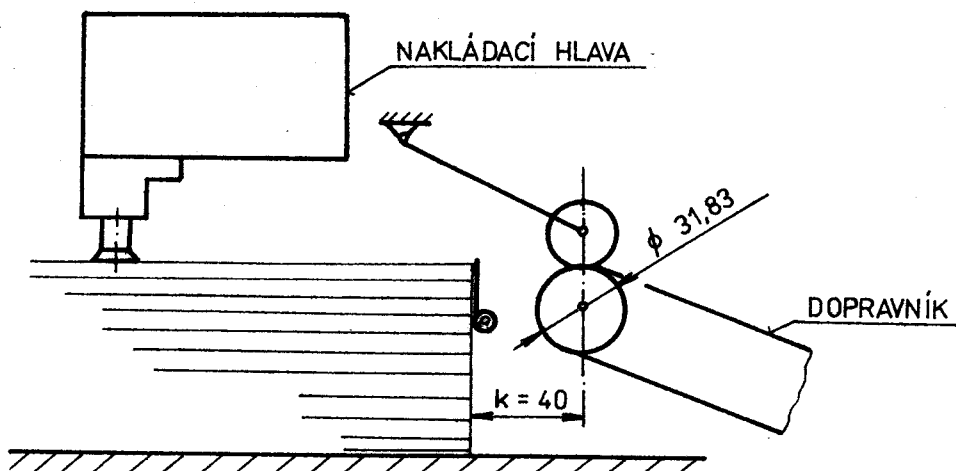
Zadáním diplomové práce jsou vytyčeny tyto dílčí cíle:

- kinematická analýza pohonu dopravníku nakládače,
- kinematická analýza mechanismu sevek nakládací hlavy / sestavení výpočtového matematického modelu a výpočtového programu pro číslačkový počítač /,
- vyšetření dynamických účinků ve vedení sevek nakládací hlavy,
- zhodnocení výsledků kinematické analýzy a návrh úpravy stávajících mechanismů.

2. Funkce a konstrukce nakládače

Nakládač archového tiskového stroje je tvořen nakládací hlavou a dopravníkem nakládače / obr. 1 /. Nakládací hlava odděluje jednotlivé archy ze stolu a přenáší je na dopravník nakládače. Používá se tzv. šupinového nakládání a spodní čelní náložky, při kterém se dosahuje maximální časy pro rovnání

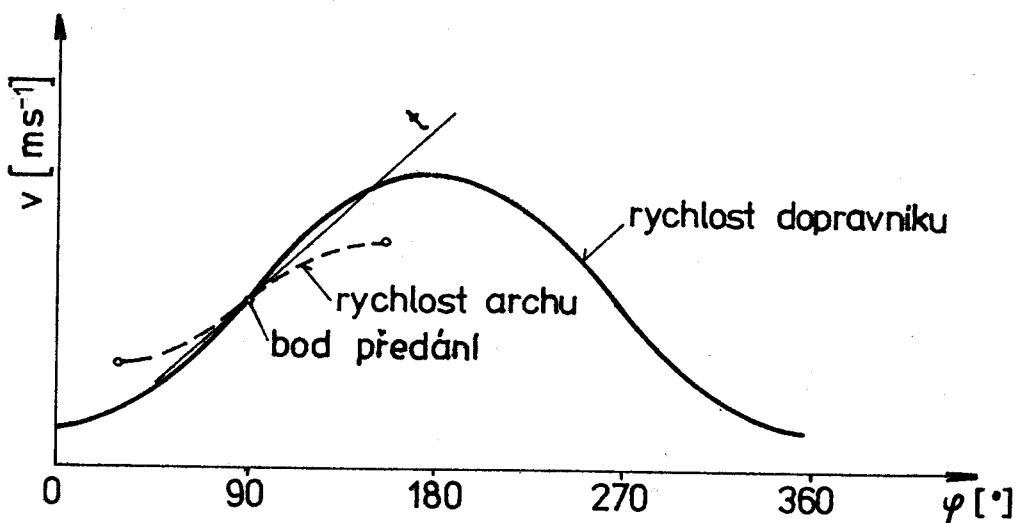
erchu, který se dopravuje od nekládací hlavy dopravníkem k čelní náložce. Arch je rovnán jednak na čelní náložku, jednak na boční náložku. Po té musí mít arch určitý čas na uklidnění. Mechanismus nekládací hlavy tiskového stroje a mechanismus pohoru dopravníku nakladače jsou vzájemně kinematicky závislé. Arch dopravený nekládací hlavou musí mít v okamžiku předání na dopravník nakladače stejnou nebo i menší rychlosť než je rychlosť dopravníku. Pro správné předání je vhodnější, když rychlosť dopravníku je po okamžiku předání o určitou hodnotu větší, aby arch byl težen dopravníkem ze savky. Závislost mezi rychlosťí dopravníku a rychlosťí pohybu archu neseného savkami nekládací hlavy znázorňuje diagram na obr.2.



Obr.1 Schéma nakládacího systému stroje AD 414.

2.1. Usporádání mechanismu pohonu savek nakládací hlavy

Nakládací hlava slouží k dopravě archu od stohu na dopravník nakladače. Savky nakládací hlavy dosednou na stoh, dojde k přisátí archu a jeho zdvihnutí, po kterém následuje klidová doba pro oddělení archu od stohu pomocí vzduchového polštáře, který při dopravě archu na dopravník udržuje arch.



Obr.2 Rychlosť dopravníku nekladace a archu v prubehu jednoho cyklu.

ve vodorovnej rovině ve výši konce savky.

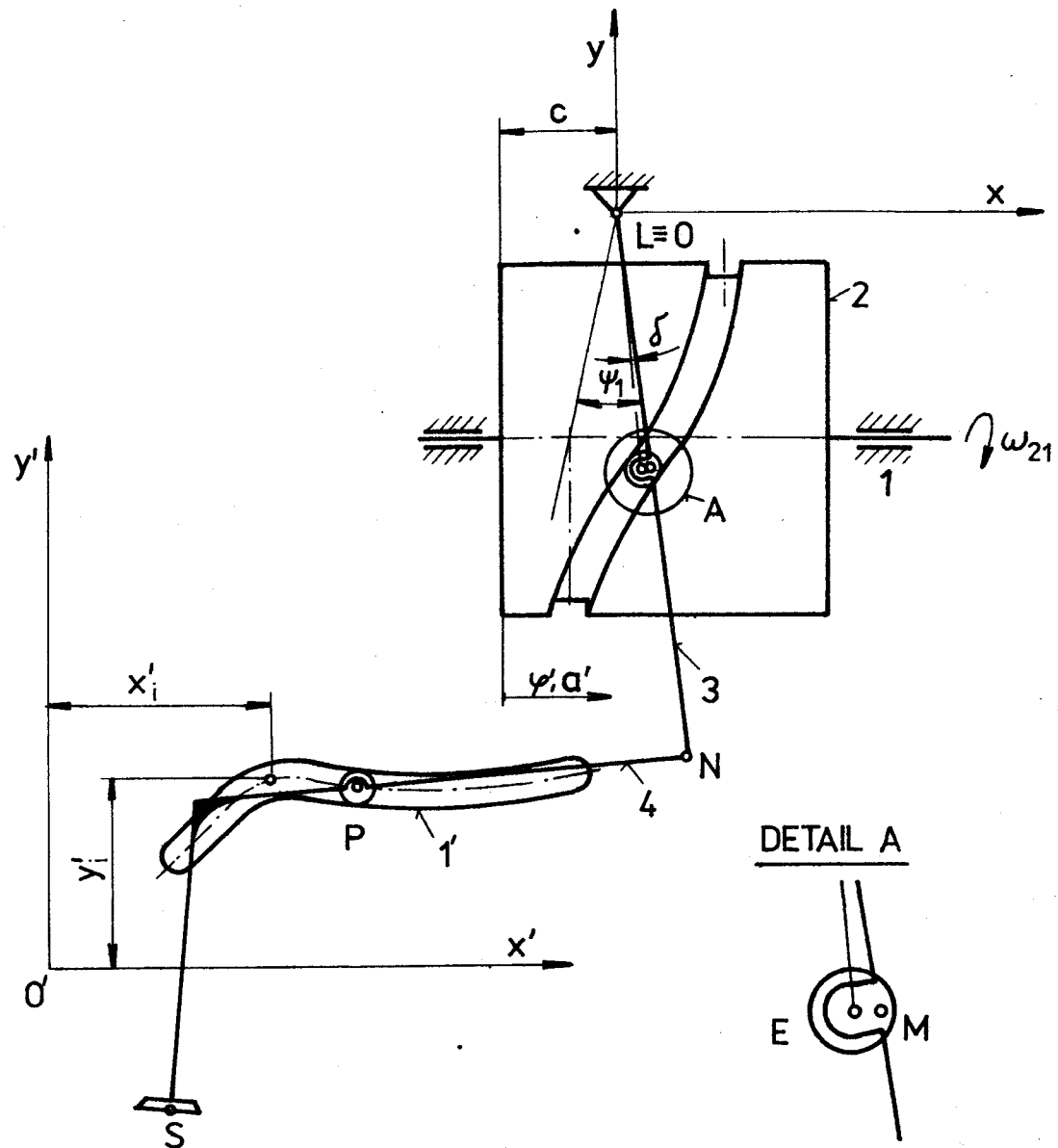
Kinematické schema mechanismu je znázorneno na obr.3. Základní časti mechanismu pohonu savek nakládací hlavy je bubnová vačka 2, která má na obvodu drážku pro vedení kladiceky E. K valečku 3 je v bodě N kloubově připojeno táhlo 4, se kterým je pevně spojen nosič savek. V místě P táhla 4 je kladiceka pohybující se v drážce 1 vedení nosiče savek. Bubnová vačka se otáčí rovnoměrnou rychlosťí a jedně její otáčce odpovídá jeden arch naloženého papíru na dopravník.

2.2. Uspořádání mechanismu pohonu dopravníku nekladace

Dopravník nekladace zajištuje dopravu archu od nekládací hlavy k čelní naložce. Na čelní naložce se provádí rovnání, na jehož přesnosti závisí kvalita soutisku při vícebarevném tisku. Na rychlosť dopravníku jsou kladený určité požadavky.

Především rychlosť dojezdu nemá překročit při maximálním výkonu stroje rychlosť 0,2 ež 0,35 m/s. Při překročení této rychlosťi dochází k odrážení archu od čelní naložky a zvětšu-

je se čas potřebný k uklidnění, případně dojde k deformaci papíru. Posuv archu, přibližně od poloviny cyklu, musí být pomalý, aby byla vytvořena dostatečná časová rezerva pro funkci boční náložky / boční rovnání /. Posledním požadavkem je stejná rychlosť dopravníku a savek nekládací hlavy v okamžiku předání archu na dopravník. Pro zajištění těchto požadavků kladených na dopravník se používá pohon s proměnlivou rychlostí v průběhu jednoho pracovního cyklu.



Obr.3 Kinematické schéma mechanismu nekládací hlavy

Kinematické schéma je znázorněno na obr.4. Klikováho dlo-vý čtyřkloubový mechanismus 2,3,4 je doplněn třemi ozubenými koly. Ozubené kolo 2 je pevně spojeno, resp. je totožné, s klikou čtyřkloubového mechanismu a jeho osa otáčení je umístěna excentricky. Excentricita je rovna délce kliky mechanismu. Ozubená kola 5 a 6 jsou umístěna tak, že jejich osy otáčení jsou totožné s příslušnými klouby mechanismu. Obě ozubená kola 5 a 6 / vložené a hněné kolo / jsou volně otočná vzhledem ke členům pákového mechanismu. Excentricky uložené kolo 2 způsobí nerovnoměrné otáčení kola 6 a tím i kola 7 v průběhu jedné otáčky stroje.

3. Kinematická analýza pohonu dopravníku nakladeče

Kinematická analýza pohonu dopravníku nakladeče strojů AD 714 a 724 byla provedena již v práci / 1 /. Pro výpočet kinematických veličin byl sestaven vývojový diagram a výpočetový program v jazyce Algol. Tento program umožňuje různá variabilní řešení. Z výsledků kinematické analýzy jsou dále v práci uvedeny závěry pro syntézu nového pohonu stejného typu, které sledují pouze splnění prvních dvou požadavků kladených na dopravník / viz kap. 2.2./

Pro řešení tohoto úkolu bylo využito těchto výsledků. Výpočetový program byl zjednodušen a přizpůsoben poměrům dě-dopravníku tiskového stroje AD 414 a převeden do programovacího jazyku Fortran, ve kterém také jsou vyjádřeny veškeré další programy, jenž se týkají kinematické analýzy nakládací hlevy.

$L_2 = 10 \text{ mm}$

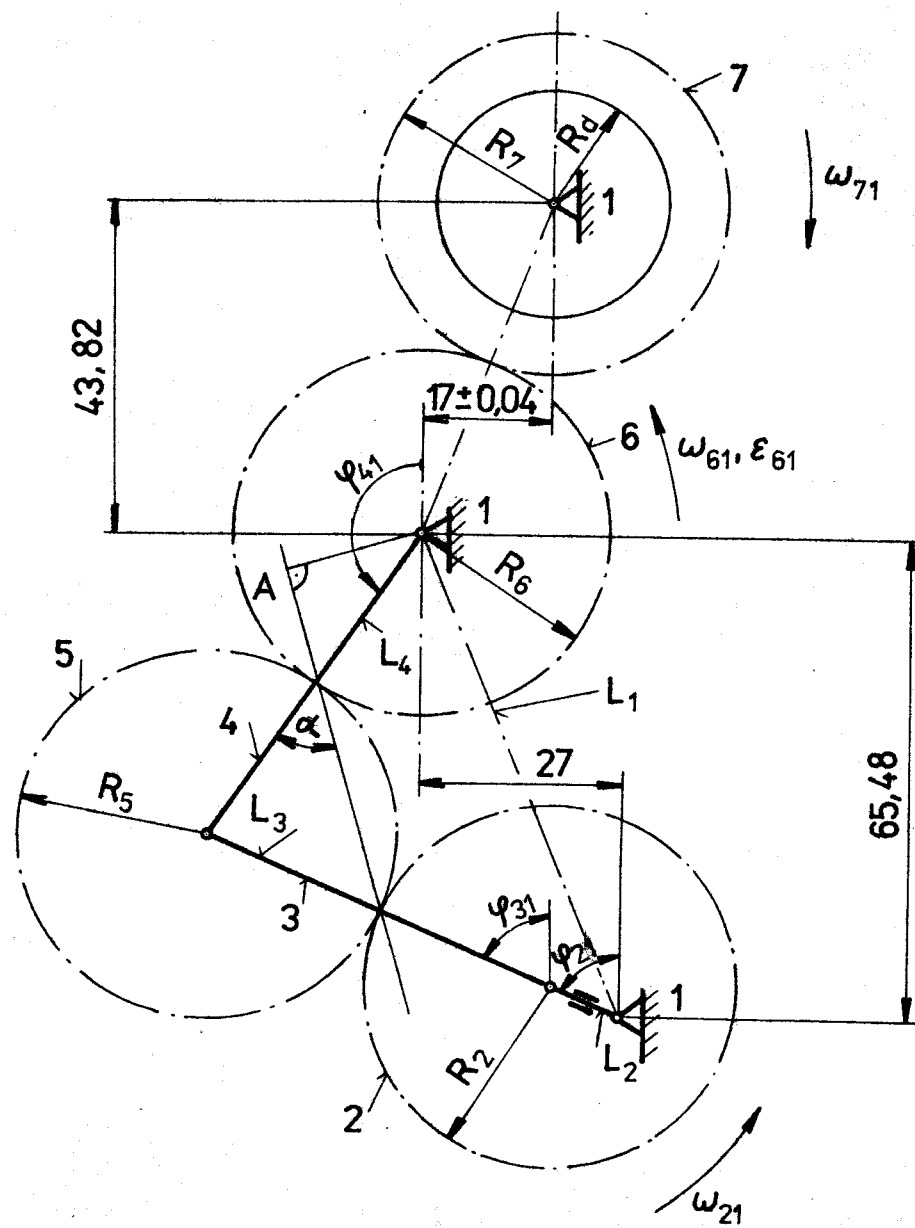
$L_3 = L_4 = 50 \text{ mm}$

$L_1 = 70,83 \text{ mm}$

$R_2 = R_5 = R_6 = 25 \text{ mm}$

$R_7 = 23,5 \text{ mm}$

$R_d = 15,9155 \text{ mm}$



Obr.4 Kinematické schéma mechanizmu pohonu dopravníku.

3.1. Převodová funkce prvního a druhého řádu

Kinematické schéma mechanismu pohonu dopravníku je znázorněno na obr. 4. Funkce $\mu_{26}(\varphi_{21}) = \frac{\omega_{61}}{\omega_{21}}$ je převodovou funkcí prvního řádu a funkce $\nu_{26}(\varphi_{21}) = \frac{\varepsilon_{61}}{\omega_{21}^2}$ je převodovou funkcí druhého řádu. Podle / 1 / platí pro požadovanou úhlovou rychlosť hnaného ozubeného kola rovnice

$$\omega_{61} = \frac{1}{i_{26}} \cdot \omega_{21} + \frac{i_{25}-1}{i_{26}} \cdot \omega_{31} - \frac{i_{25}-i_{26}}{i_{26}} \cdot \omega_{41}. \quad (1)$$

Dalším odvozením získáme

$$\mu_{24}(\varphi_{21}) = \frac{\omega_{31}}{\omega_{21}} = \frac{L_2 \sin(\varphi_{21} - \varphi_{41})}{L_3 \sin(\varphi_{41} - \varphi_{31})}, \quad (2)$$

$$\mu_{24}(\varphi_{21}) = \frac{\omega_{41}}{\omega_{21}} = \frac{L_2 \sin(\varphi_{21} - \varphi_{31})}{L_4 \sin(\varphi_{41} - \varphi_{31})}. \quad (3)$$

Dosazením vztahů (2) a (3) do rovnice (1) a po úpravě získáme převodovou funkci prvního řádu

$$\frac{\omega_{61}}{\omega_{21}} = \frac{1}{i_{26}} \left[1 - \lambda \frac{\sin(\varphi_{21} - \varphi_{41})}{\sin(\varphi_{41} - \varphi_{31})} + \lambda K \frac{\sin(\varphi_{21} - \varphi_{31})}{\sin(\varphi_{41} - \varphi_{31})} \right], \quad (4)$$

$$\text{kde } \lambda = \frac{L_2}{R_2}, \quad K = \frac{R_5}{R_5}, \quad i_{25} = -\frac{R_5}{R_2}, \quad i_{56} = -\frac{R_6}{R_5}, \quad i_{26} = \frac{R_5 \cdot R_6}{R_5 \cdot R_2}.$$

Úhly potočení φ_{31} a φ_{41} lze stanovit pomocí nezávisle proměnné φ_{21} a transformačního úhlu μ (obr. 5).

Pro úhel φ_{41} platí

$$\varphi_{41} = \pi - \text{ARCTG} \frac{L_2 \sin \varphi_{21}}{L_1 - L_2 \cos \varphi_{21}} - \text{ARCTG} \frac{L_3 \sin \mu}{L_4 - L_3 \cos \mu}, \quad (5)$$

kde μ je transformační úhel a

$$\cos \mu = \frac{L_4^2 + L_3^2 - L_2^2 - L_1^2 + 2L_1 \cdot L_2 \cos \varphi_{21}}{2L_3 \cdot L_4}. \quad (6)$$

Derivací vztahu (1) dostaneme úhlové zrychlení hnaného ozubeného kola 6

$$\varepsilon_{61} = \frac{i_{25} - 1}{i_{26}} \varepsilon_{31} - \frac{i_{25} - i_{26}}{i_{26}} \varepsilon_{41}. \quad (7)$$

Po dosazení a úpravě získáme závislost průběhu úhlového zrychlení na ω_{21}

$$\nu_{26}(\varphi_{21}) = \frac{\varepsilon_{61}}{\omega_{21}^2} = \frac{L_4}{R_6} \cdot \frac{\varepsilon_{41}}{\omega_{21}^2} - \frac{L_3}{R_6 \cdot K} \cdot \frac{\varepsilon_{31}}{\omega_{21}^2}, \text{ kde} \quad (8)$$

$$\text{převodové funkce } \nu_{23}(\varphi_{21}) = \frac{\varepsilon_{31}}{\omega_{21}^2} \text{ a } \nu_{24}(\varphi_{21}) = \frac{\varepsilon_{41}}{\omega_{21}^2}$$

vypočítáme z následujících vztahů

$$\frac{\varepsilon_{31}}{\omega_{21}^2} = \frac{L_2 \cos(\varphi_{21} - \varphi_{41}) + L_3 \left[\frac{\omega_{31}}{\omega_{21}} \right]^2 \cos(\varphi_{41} - \varphi_{31}) - L_4 \left[\frac{\omega_{41}}{\omega_{21}} \right]^2}{L_3 \cdot \sin(\varphi_{41} - \varphi_{31})}, \quad (9)$$

$$\frac{\varepsilon_{41}}{\omega_{21}^2} = \frac{L_2 \cos(\varphi_{21} - \varphi_{31}) + L_3 \left[\frac{\omega_{31}}{\omega_{21}} \right]^2 - L_4 \left[\frac{\omega_{41}}{\omega_{21}} \right]^2 \cos(\varphi_{41} - \varphi_{31})}{L_4 \cdot \sin(\varphi_{41} - \varphi_{31})}. \quad (10)$$

Výrazy $\frac{\omega_{31}}{\omega_{21}}$ a $\frac{\omega_{41}}{\omega_{21}}$ lze odvodit ze vztahů (2) a (3).

3.2. Úhlové pootočení hnaného členu mechanismu

Integrací vztahu (1) dostaneme pro úhel pootočení φ_{61} rovnici

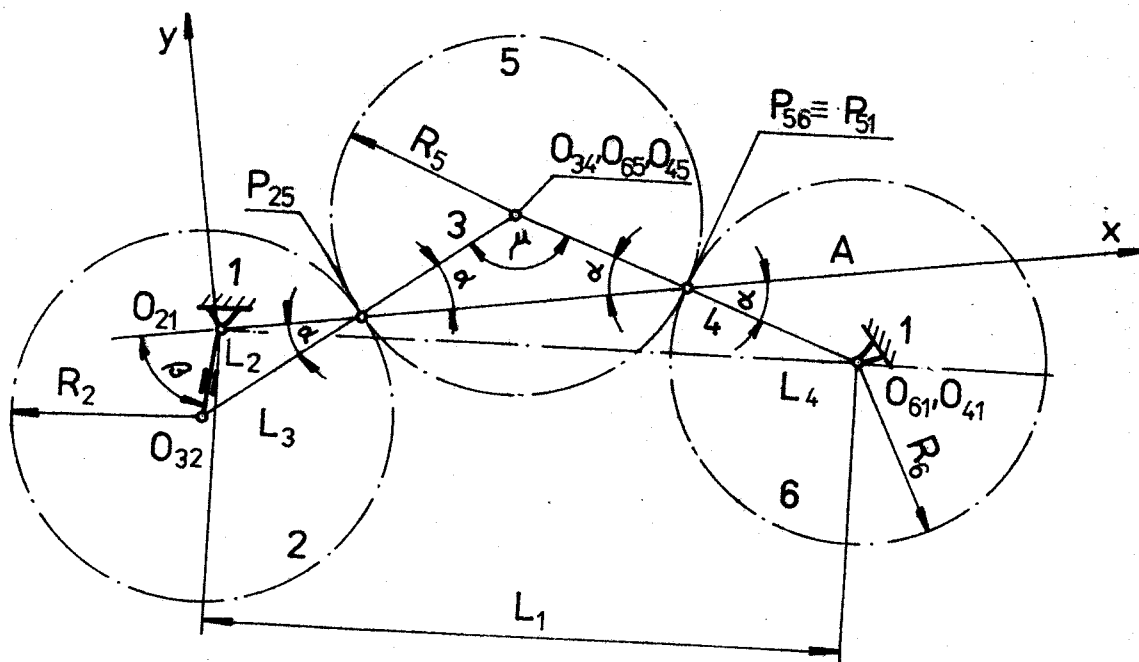
$$\varphi_{61} = \frac{1}{i_{26}} \left[\varphi_{21} + (i_{25} - 1) \varphi_{31} - (i_{25} - i_{26}) \varphi_{41} \right] + c. \quad (11)$$

Integrační konstantu lze vypočítat z podmínky, že při $\varphi_{21}=0$ je také $\varphi_{61}=0$. Hodnoty úhlů φ_{31} a φ_{41} při poloze kliky $\varphi_{21}=0$ jsou označeny φ_{310} a φ_{410} , pak

$$C = \frac{1}{i_{26}} \left[(i_{25}-i_{26}) \cdot \varphi_{410} - (i_{25}-1) \cdot \varphi_{310} \right]. \quad (12)$$

Po dosazení do rovnice (4) plyne pro úhel pootočení

$$\varphi_{61} = \frac{1}{i_{26}} \left[\varphi_{21} + (i_{25}-1) \cdot (\varphi_{31} - \varphi_{310}) - (i_{25}-i_{26}) \cdot (\varphi_{41} - \varphi_{410}) \right]. \quad (13)$$



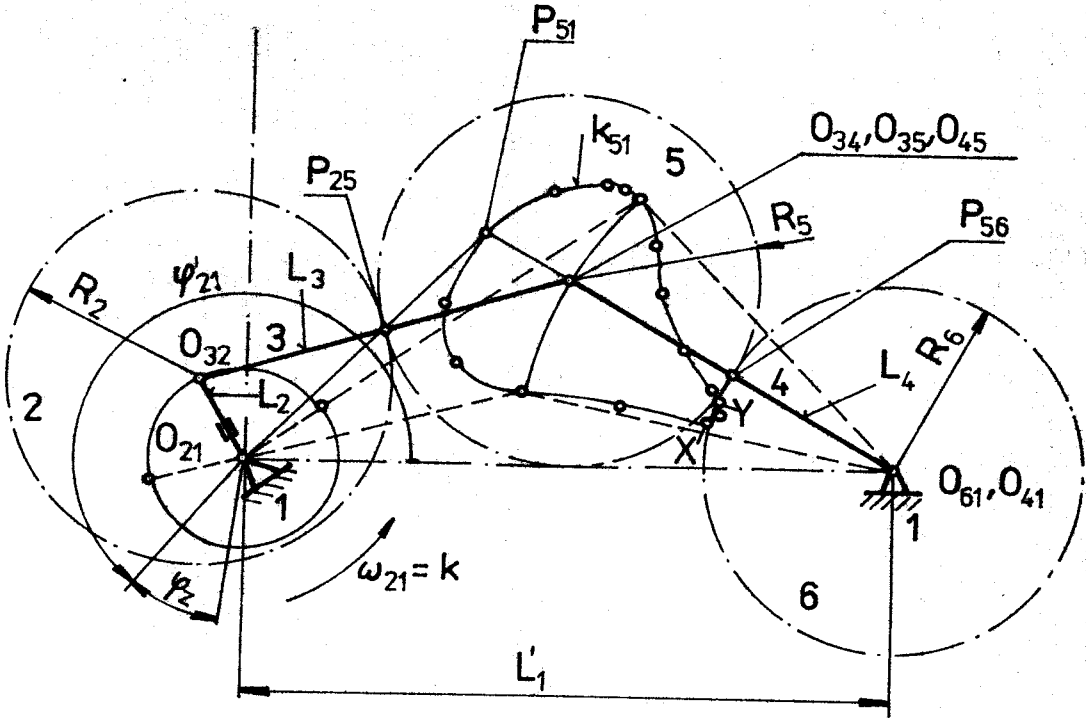
Obr. 5 Geometrie mechanismu pohonu dopravníku.

3.3. Podmínky pro uskutečnění požadovaného pohybu

Pro realizaci požadovaného pohybu musí být splněna především podmínka existence klikovahadlového čtyřkloubového mechanismu

$$L_1 + L_2 < L_3 + L_4. \quad (14)$$

Požadavkem na pohon dopravníku, resp. na posuv archu, je nerovnoměrná rychlosť a stálý smysl otáčení kola 7. Proto mají význam pouze ty hodnoty L_1 a λ , při kterých lze takového pohybu dosáhnout. Na nerovnoměrnost otáčení hnacího ozubeného kola má vliv jednak velikost poměru $\lambda = \frac{L_2}{R_2}$, změna převodového poměru hnacího a hnacího ozubeného kola i_{26} a změna osové



Obr.6 Polodie pohybu mechanismu pohonu dopravníku.

vzdálenosti L_1 kol 2 a 6 (obr.4).

Vzdálenost $L_1 = \overline{O_{21}O_{41}}$ os otáčení členů 2 a 4 vyjádřena pro polohu, kdy $P_{51} \equiv P_{56}$ (obr.6), plyne z obr.5

$$L_1^2 = (\overline{O_{21}P_{25}} + \overline{P_{25}P_{56}} + \overline{P_{56}A})^2 + (\overline{O_{41}A})^2. \quad (15)$$

Dosazením za jednotlivé členy a úpravou získáme konečný vztah ve tvaru

$$L_1^2 = [(R_2 + 2R_5 + R_6) \cdot \cos \alpha - \sqrt{R_2^2 \cos^2 \alpha - (R_2^2 - L_2^2)}]^2 + (R_6 \cdot \sin \alpha)^2. \quad (16)$$

Pro určení kritické L_1 , při které je $\omega_{61}=0$, se hledá extrém funkce derivací vztahu podle úhlu α . Extrém plyne z rovnice $d\frac{L_1}{d\alpha} = 0$. Je-li známa hodnota úhlu α pro kritickou vzdálenost os, může se určit z rovnice (16) její hodnota L_1 . V tabulce 1 jsou obsaženy kritické hodnoty L_{1kr} v závislosti na změně eccentricity a při konstantních ostatních rozměrech (obr.4).

S rostoucí hodnotou λ roste nerovnoměrnost otáčení hnědohozubeného kola 6 a tím i kola 7. Při určité hodnotě λ lze dosáhnout reversace otáčení kola 6 při konstantní úhlové rychlosti i smyslu otáčení kola 2. Proto platí podmínka pro jednosměrné otáčení kola 6 změnou excentricity L_2

$$L_2 < L_{2kr} \text{ resp. } \lambda < \lambda_{kr} \quad (17)$$

Pro stanovení kritické excentricity použijeme rovnici (16), ze které vyjádříme L_2

$$L_2^2 = [(R_2 + 2R_5 + R_6) \cdot \cos\alpha - \sqrt{R_2^2 \cdot \cos^2\alpha - (R_6^2 - L_1^2)}]^2 + (R_2 \cdot \sin\alpha)^2. \quad (18)$$

K získání kritické hodnoty L_{2kr} je nutno hledat extrém rovnice (18) obdobným způsobem jako při stanovení L_{1kr} . Kritická hodnota L_{2kr} je pro danou pevnou vzdálenost os otáčení ozubených kol 2 a 6 $L_1 = 70,83$ mm uvedena v tabulce 1.

Tabulka 1

| $L_2 / \text{mm}/$ | 8 | 10 | 12 | 15 | $17,597 = L_{2kr}$ |
|------------------------|-------|-------|-------|-------|--------------------|
| λ | 0,32 | 0,4 | 0,48 | 0,6 | 0,7039 |
| $L_{1kr} / \text{mm}/$ | 91,86 | 89,09 | 85,58 | 78,72 | 70,83 |

3.4. Výpočet na číšlivcovém počítači, vývojový diagram a výpočtový program

Vlastní program byl sestaven s ohledem na co největší jednoduchost a přehlednost. Proto je v úvodu programu zařazen tisk zadaných hodnot a jiných údajů. Označení proměnných převážně souhlasí s proměnnými v odvozených rovnicích. Výjimku tvoří pouze řecké písmena, která byla přepsána do latinky ($\varphi=FI$, $\mu=MI$) nebo bylo použito obdobné označení ($\omega=W$, $\varepsilon=E$).

Poměrné hodnoty jsou označeny na začátku POMW, POME. Tohoto principu označování pro výpočetní program se používá i ve všech dalších programech v této práci.

Protože program požaduje tisk více proměnných, než je kapacita řádku tiskárny, byl tisk rozdělen do dvou etap. V první etapě se tabelují vypočítané úhly, poměrné úhlové rychlosti, a poměrná úhlová zrychlení. Ve druhé etapě jsou tištěny úhlové rychlosti, úhlová zrychlení a rychlosť dopravníku. Do výpočtu byla zařazena kontrola podmínky klikovahadlového mechanismu. V případě nesplnění této podmínky je výpočet přerušen a tiskne se o tom informace.

Rovněž je kontrolován transformační úhel μ , který se má pohybovat v rozmezí 45 až 135 stupňů. Neleží-li v daném intervalu, je tištěna při tabelaci na začátku příslušného řádku *, přičemž výpočet dále pokračuje.

Hodnoty úhlů jsou pro tisk přepočítány do stupňů. Program je upraven tak, že je možno zadávat různá vstupní data. V tomto případě jsou data volena jako ve stávajícím mechanismu na obr.3. Výhodou je také možnost volby kroku pro výpočet. V průběhu výpočtu však nelze žádnou veličinu měnit.

Schema výpočtu je znázorněno vývojovým diagramem č.l. Výpis programu a vlastní výpočet je obsahem přílohy č.l.

Označení pro program:

$$\omega_{61}(I) \sim A(I)$$

$$\omega_{31}(I) \sim B(I)$$

$$\omega_{41}(I) \sim D(I)$$

$$\varepsilon_{61}(I) \sim P(I)$$

$$\varepsilon_{31}(I) \sim R(I)$$

$$\varepsilon_{41}(I) \sim S(I)$$

$$\mu \sim \text{MI}$$

$$\lambda \sim \text{LAM}$$

$$\psi \sim \text{FI}$$

$$\pi \sim \text{PI}$$

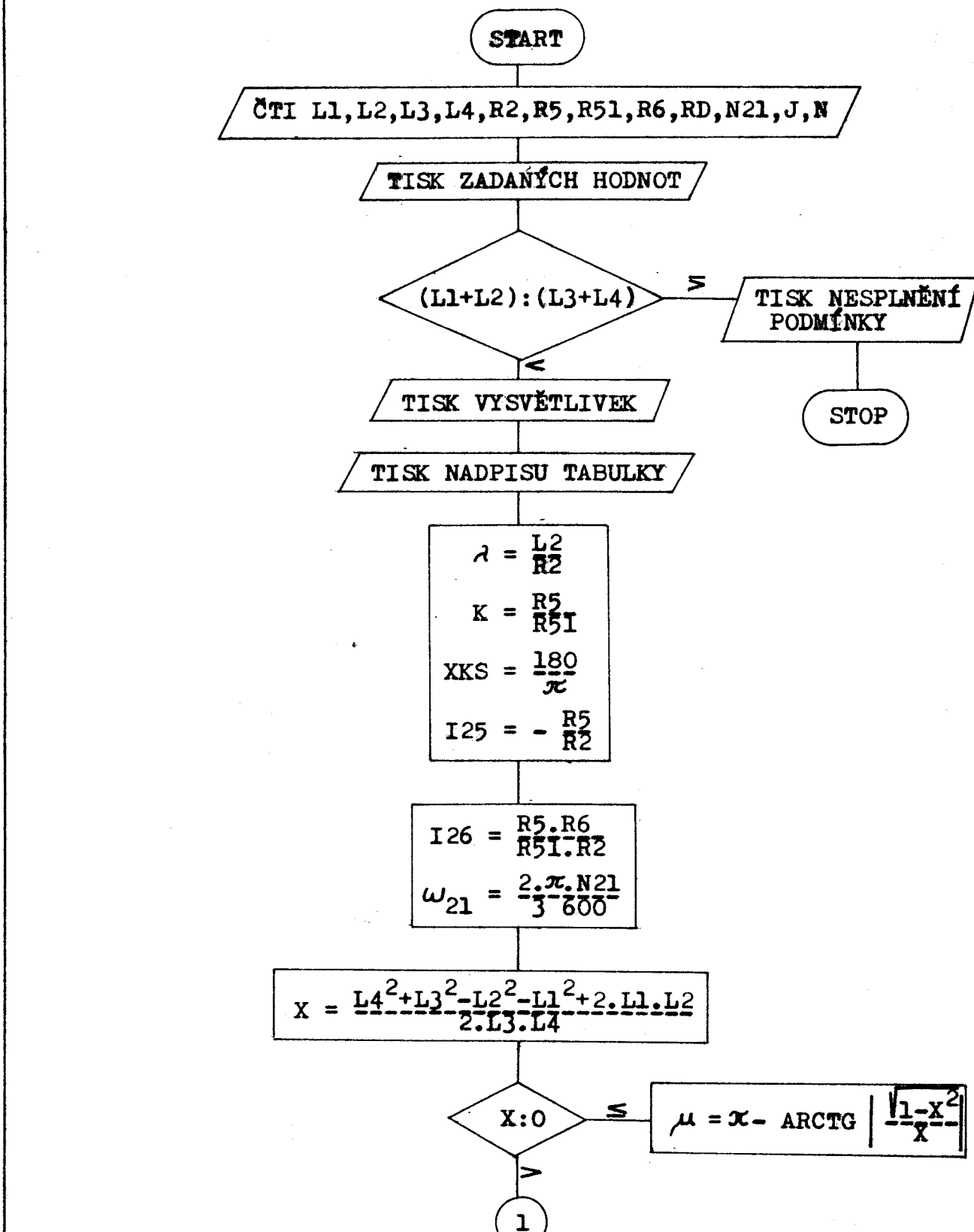
$$R_5' \sim R51$$

$$v_d(I) \sim T(I)$$

$$\frac{\omega_{61}}{\omega_{21}} \sim \text{POMW61}$$

$$\frac{\omega_{61}}{\omega_{21}^2} \sim \text{POME61}$$

Vývojový diagram č.1: Kinematická analýza dopravníku nakladače



1

$$\mu = \text{ARCTG} \frac{\sqrt{1-x^2}}{x}$$

$$\varphi_{41} = \pi - \text{ARCTG} \frac{L_3 \cdot \sin \mu}{L_4 - L_3 \cdot \cos \mu}$$

$$x = \frac{L_4 - \sin \varphi_{41}}{L_3}$$

$$\varphi_{31} = \text{ARCTG} \frac{x}{\sqrt{1-x^2}}$$

$$c = \varphi_{41} \frac{i_{25}-i_{26}}{i_{26}} - \varphi_{31} \frac{i_{25}-1}{i_{26}}$$

I = 0

6

$$K \varphi_{21} = J \cdot I$$

$$\varphi_{21} = K \varphi_{21} \frac{\pi}{180}$$

$$x = \frac{L_4^2 + L_3^2 - L_2^2 - L_1^2 + 2 \cdot L_1 \cdot L_2 \cdot \cos \varphi_{21}}{2 \cdot L_3 \cdot L_4}$$

X : 0

$$\mu = \pi - \text{ARCTG} \left| \frac{\sqrt{1-x^2}}{x} \right|$$

$$\mu = \text{ARCTG} \frac{\sqrt{1-x^2}}{x}$$

$$\varphi_{41} = \pi - \text{ARCTG} \frac{L_2 \cdot \sin \varphi_{21}}{L_1 - L_2 \cdot \cos \varphi_{21}} - \text{ARCTG} \frac{L_3 \cdot \sin \mu}{L_4 - L_3 \cdot \cos \mu}$$

2

2

$$X = \frac{L4 \cdot \sin \varphi_{41} - L2 \cdot \sin \varphi_{21}}{L3}$$

$$\varphi_{31} = \text{ARCTG} \frac{X}{\sqrt{1-X^2}}$$

$$\varphi_{61} = \frac{\varphi_{21}}{I26} + \varphi_{31} \frac{I25-I1}{I26} - \varphi_{41} \frac{I25-I26}{I26} + C$$

$$POMW61 = \frac{1}{I26} - \frac{R \cdot \sin(\varphi_{21} - \varphi_{41})}{\sin(\varphi_{41} - \varphi_{31}) \cdot I26} + \frac{R \cdot K \cdot \sin(\varphi_{21} - \varphi_{31})}{\sin(\varphi_{41} - \varphi_{31}) \cdot I26}$$

$$POMW31 = \frac{L2 \cdot \sin(\varphi_{21} - \varphi_{41})}{L3 \cdot \sin(\varphi_{41} - \varphi_{31})}$$

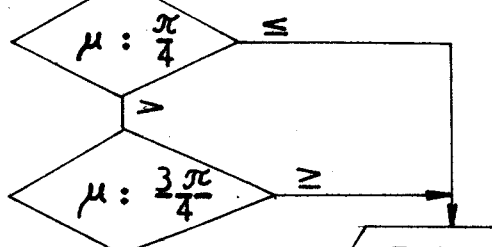
$$POMW41 = \frac{L2 \cdot \sin(\varphi_{21} - \varphi_{31})}{L4 \cdot \sin(\varphi_{41} - \varphi_{31})}$$

$$POME31 = \frac{L2 \cdot \cos(\varphi_{21} - \varphi_{41}) + L3 \cdot POMW31^2 \cdot \cos(\varphi_{41} - \varphi_{31}) - POMW41^2 \cdot L4}{L3 \cdot \sin(\varphi_{41} - \varphi_{31})}$$

$$POME41 = \frac{L2 \cdot \cos(\varphi_{21} - \varphi_{31}) + L3 \cdot POMW31^2 - L4 \cdot POMW41^2 \cdot \cos(\varphi_{41} - \varphi_{31})}{L4 \cdot \sin(\varphi_{41} - \varphi_{31})}$$

$$POME61 = \frac{L4 \cdot POME41 - L3 \cdot POME31}{R6 \cdot K}$$

3



TASK *

3

$\mu = \mu \cdot XKS$
 $\varphi_{31} = \varphi_{31} \cdot XKS$
 $\varphi_{41} = \varphi_{41} \cdot XKS$
 $\varphi_{61} = \varphi_{61} \cdot XKS$

TISK K $\varphi_{21}, \mu, \varphi_{31}, \varphi_{41}, \varphi_{61}, POMW61, POMW31,$
 $POMW41, POME61, POME31, POME41$

$W_{61}(I) = POMW61 \cdot W_{21}$
 $W_{31}(I) = POMW31 \cdot W_{21}$
 $W_{41}(I) = POMW41 \cdot W_{21}$
 $E_{61}(I) = POME61 \cdot W_{21}^2$
 $E_{31}(I) = POME31 \cdot W_{21}^2$
 $E_{41}(I) = POME41 \cdot W_{21}^2$
 $VD(I) = W_{61}(I) \cdot RD$

$I = I + 1$

$I : N$

6

>

TISK NADPISU TABULKY

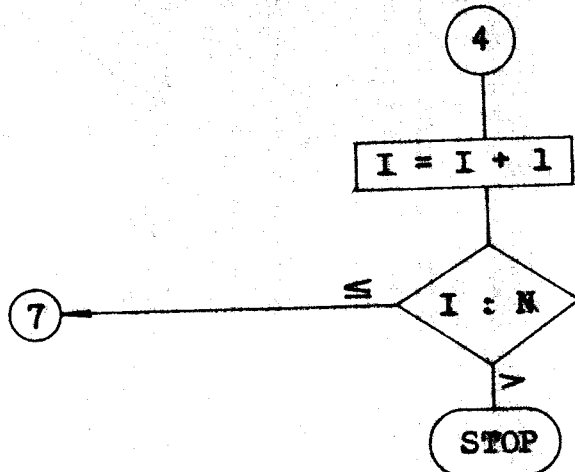
$I = 0$

7

$K \varphi_{21} = J \cdot I$

TISK K $\varphi_{21}, W_{61}(I), W_{31}(I), W_{41}(I), E_{61}(I),$
 $E_{31}(I), E_{41}(I), VD$

4



4. Kinematická analýza mechanismu savek nakládací hlavy tiskových strojů AD 414 a 514

Bubnová vačka 2 je zhotovována na číslicově řízeném obráběcím stroji a proto je zadána pomocí polárních souřadnic $[\psi', a']$ dle výrobního výkresu č. HK-1-1644039c. Vedení nosiče savek je rovněž zadáno bodově pravoúhlými souřadnicemi $[0'; x', y']$ podle výrobního výkresu č. HK-3-1644035b. Funkční vyjádření křivky bubnové vačky a křivky vedení nosiče savek není známo.

4.1. Náhrada křivky vedení nosiče savek

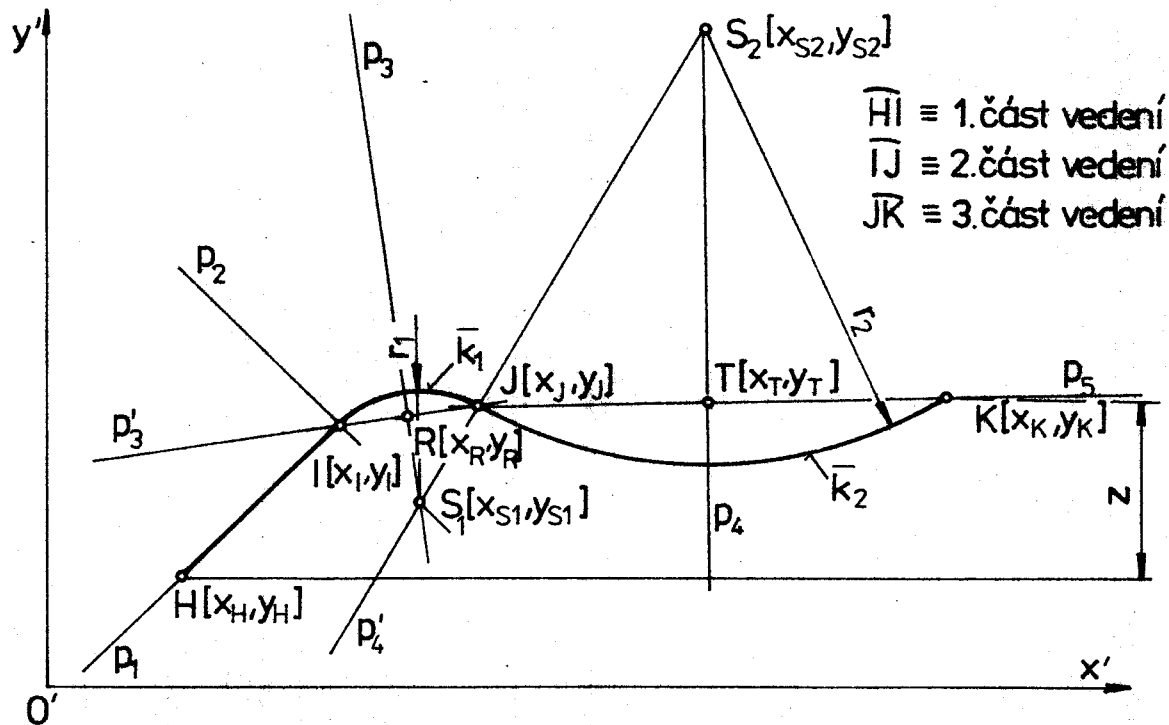
Dráhu vedení nosiče savek je nutno nahradit křivkami, u nichž známe funkční vyjádření. Celá analýza pak bude usnadněna požitím číslicového počítače. Tvar křivky vedení nosiče savek, který je zadán výkresem, dovoluje rozdělit celou křivku na tři části. První část je nahrazena přímkou p_H se směrnicí k_H , druhá část kružnicí \bar{k}_1 o středu $S_1 = [x_{S1}, y_{S1}]$ a poloměru r_1 a třetí část kružnicí \bar{k}_2 o středu $S_2 = [x_{S2}, y_{S2}]$ a poloměru r_2 (obr.7). Pro náhradu je také nutno brát v úvahu zdvih savek z a délku drážky vedení ohrazenou bodem K. Ze stávajícího pro-

vedení vedení nosiče savek jsou pro nahradu zachovány body H, I, J a K. Body H a K jsou koncovými body vedení a body I a J rozdělují celou křivku vedení na tři části. Tyto body mají souřadnice $H = [21; 18, 66]$, $I = [26; 23, 91]$, $J = [36; 27, 13]$ a $K = [73; 27, 2]$ v souřadném systému $[0'; x', y']$.

Náhrada první části vedení

Při nahrazování se pracuje v souřadném systému $[0'; x', y']$. První část křivky vedení je nahrazena přímkou. Pro nahradu použijeme body H a I, které ohraňují tuto část. Směrnice k_1 přímky p_1 a rovnice přímky p_1 , která prochází body H a I, má tvar

$$k_1 = \frac{y_I - y_H}{x_I - x_H} \quad \text{a} \quad p_1 = y' = k_1 (x' - x_H) + y_H. \quad (19)$$



Obr. 7 Křivka vedení nosiče savek.

Náhrada druhé části vedení

Druhá část křivky vedení je nahrazena kruhovým obloukem

\bar{k}_1 se středem $S_1 [x_{S1}; y_{S1}]$ a poloměrem r_1 a dotýká se přímky p_1 v bodě I. Střed S_1 kružnice \bar{k}_1 se určí následovně:

Rovnice přímky p_2 , která je kolmá na přímku p_1 a prochází bodem I, má tvar

$$p_2 = y' = k_2 (x' - x_I) + y_I, \text{ kde } k_2 = \operatorname{tg} \left[(\operatorname{arctg} k_1) + \frac{\pi}{2} \right]. \quad (20)$$

Bod R leží v polovině úsečky IJ na přímce p_3 a pro jeho souřadnice platí

$$x_R = \frac{x_J - x_I}{2} + x_I, \quad y_R = \frac{y_J - y_I}{2} + y_I.$$

Rovnice přímky p_3 , která je kolmá na p_2 , jenž prochází body J a I, má tvar

$$p_3 = y' = k_3 (x' - x_R) + y_R, \text{ kde } k_3 = \operatorname{tg} \left[(\operatorname{arctg} \frac{y_J - y_I}{x_J - x_I}) + \frac{\pi}{2} \right]. \quad (21)$$

Střed $S_1 [x_{S1}; y_{S1}]$ kružnice \bar{k}_1 se určí ze soustavy rovnic (20) a (21). Pomocí bodů I a S_1 lze vypočítat poloměr r_1 kružnice \bar{k}_1

$$r_1 = \sqrt{(y_I - y_{S1})^2 + (x_I - x_{S1})^2}. \quad (22)$$

Pro druhou část vedení platí obecný vztah

$$r_1^2 = (y' - y_{S1})^2 + (x' - x_{S1})^2. \quad (23)$$

Náhrada třetí části vedení

Rovněž třetí část křivky vedení je nahrazena kruhovým obloukem \bar{k}_2 se středem $S_2 [x_{S2}; y_{S2}]$ a poloměrem r_2 . Navazuje na druhou část v bodě J a končí v bodě K (obr.7). Střed S_2 kružnice \bar{k}_2 se určí následovně:

Směrnice přímky p_5 , která prochází body J a K

$$k_5 = \frac{y_K - y_J}{x_K - x_J}.$$

Bod T tvoří střed úsečky JK a jeho souřadnice jsou

$$x_T = \frac{x_K - x_J}{2} + x_J, \quad y_T = \frac{y_K - y_J}{2}. \quad (24)$$

Rovnice přímky p_4' , která je kolmá na přímku p_5 a prochází bodem T, má tvar

$$p_4' = y' = k_4'(x' - x_T) + y_T, \quad \text{kde } k_4' = \operatorname{tg} \left[(\arctg k_5) + \frac{\pi}{2} \right]. \quad (25)$$

Rovnice přímky p_4' , která prochází body S_1 a J, má tvar

$$p_4' = y' = k_4' (x' - x_J) + y_J, \quad \text{kde } k_4' = \frac{y_J - y_{S1}}{x_J - x_{S1}}. \quad (26)$$

Střed S_2 kružnice k_2 se určí ze soustavy rovnic (25) a (26). Pomocí bodů K a S_2 se stanoví poloměr r_2

$$r_2 = \sqrt{(y_{S2} - y_K)^2 + (x_{S2} - x_K)^2}. \quad (27)$$

Třetí část křivky vedení je popsána vztahem

$$r_2^2 = (y' - y_{S2})^2 + (x' - x_{S2})^2. \quad (28)$$

Pokud porovnáme náhradní křivku vedení s původní křivkou, činí chyba náhrady v první části vedení max. 0,01 mm, ve druhé části 0,05 mm, což je v toleranci chyby výroby, předepsané výrobním výkresem. Ve třetí části se liší obě křivky max. o 0,173 mm. Tato maximální chyba se vyskytuje uprostřed třetí části. Protože je náhrada provedena s ohledem na zachování nejdůležitějších bodů, lze tuto odchylku zanedbat.

Náhrada křivky vedení přímou a kruhovými oblouky bude mít v kinematické analýze negativní vliv, a to v oblasti přechodu z jedné části vedení do druhé, kde se mění poloměr křivosti z ∞ na r_1 nebo z r_1 na r_2 . Tato změna křivosti se projeví na průběhu zrychlení, kde vznikne skoky a ty je nutno při hodnocení brát s rezervou. Uvedené nahrazení nejlépe

vystihuje tvar vedení a jeho použití v kinematické analýze přinese výsledky, které se jinak nebudou příliš lišit od skutečnosti.

4.2. Sestavení algoritmu pro řešení mechanismu savek nakládací hlavy

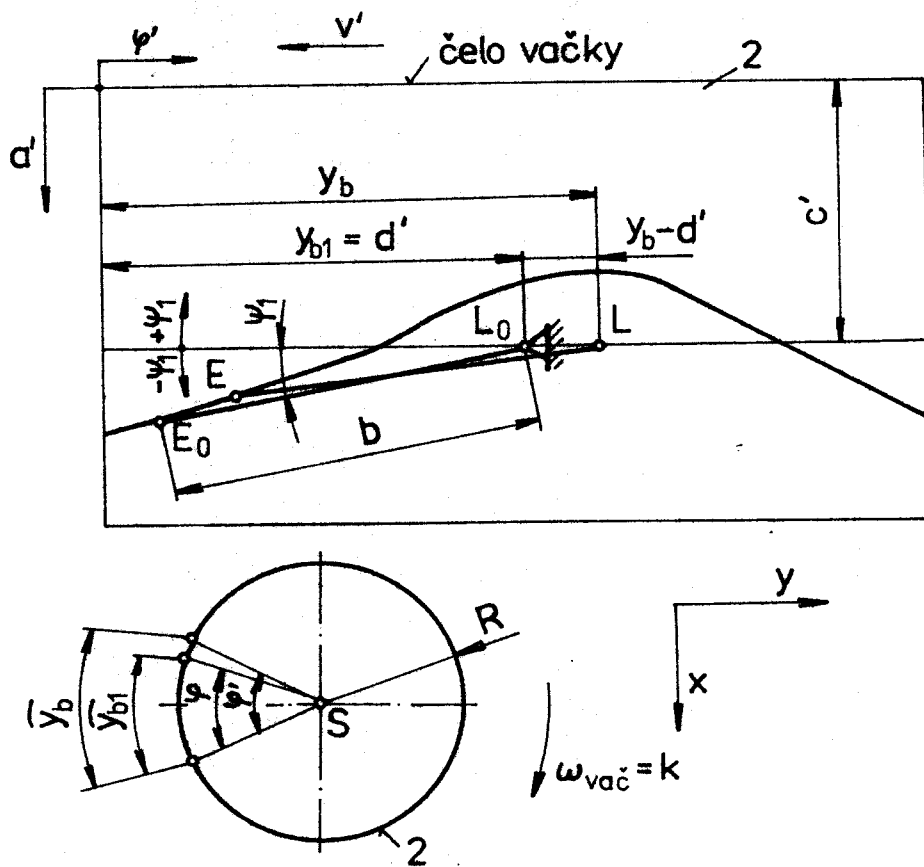
Kinematická analýza nakládací hlavy je značně rozsáhlá a časově velice náročná. Celé řešení jěště komplikuje zadání drážky bubnové vačky a drážky vedení nosiče savek pomocí bodů. Podkladem pro zadání obou drážek je výrobní dokumentace č. HK-1-1644039 a HK-1-1644035b. Z těchto důvodů je použito pro kinematickou analýzu číslicového počítače MINSK 22 a bodové zadání drážky vedení převedeno na zadání funkcemi křivek (viz kap. 4.1.).

Kinematická analýza mechanismu nakládací hlavy je rozdělena do dvou částí. První část řeší natočení ψ vahadla NL a jemu odpovídající skutečné potočení ψ bubnové vačky, jestliže v drážce bubnové vačky 2 zabírá kladíčka E (obr. 3). Dále určuje úhlovou rychlosť ω_3 a úhlové zrychlení ε_3 vahadla NL pro dané otáčky bubnové vačky. Druhá část kinematické analýzy navazuje na první část a určuje jako x-ové a y-ové složky polohu, rychlosť a zrychlení koncového bodu S na savce.

4.3. První část kinematické analýzy mechanismu nakládací hlavy

Základem algoritmu řešení je nalezení vztahu mezi úhlem potočení vačky ψ a úhlem potočení ψ_1 vahadla NL. Princip řešení spočívá v tom, že rozvinutou křivkou drážky bubnové vačky posouváme rychlostí V' , která je totožná s obvodovou rychlosťí bubnové vačky. Vahadlo NL je kloubově uchyceno v bodě L a

kladička E vahadla se pohybuje v drážce bubnové vačky. Schéma je znázorněno na obr.8. Poloha $L_0 E_0$ je počáteční polohou vahadla a podle výkresové dokumentace je levou krajní polohou vahadla NL (obr.3). Úhel natočení vahadla φ' se vztahuje k přímce, která je rovnoběžná s osou y a prochází bodem L_0 . Kóta c' udává vzdálenost mezi čelem vačky a bodem otáčení L_0 vahadla. Souřadnice a' drážky bubnové vačky je ve výkresové dokumentaci vztážena právě k tomuto čelu.



Obr.8 Kinematické schéma pohybu vahadla.

Průmět y_b vahadla do přímky kolmé na osu vačky je

$$y_b = \sqrt{b^2 - (a' - c')^2}. \quad (29)$$

Středový úhel φ' bubnové vačky v radiánech si označíme jako

$$\varphi_R' = \frac{\varphi'}{180} \cdot \pi. \quad (30)$$

Zavedeme si d' jako počáteční průmět vahadla

$$d' = y_{bl}.$$

Úhel pootočení vahadla vypočítáme ze vztahu

$$\psi_1 = \arctg \left(\frac{c' - a'}{y_b} \right) - \delta. \quad (31)$$

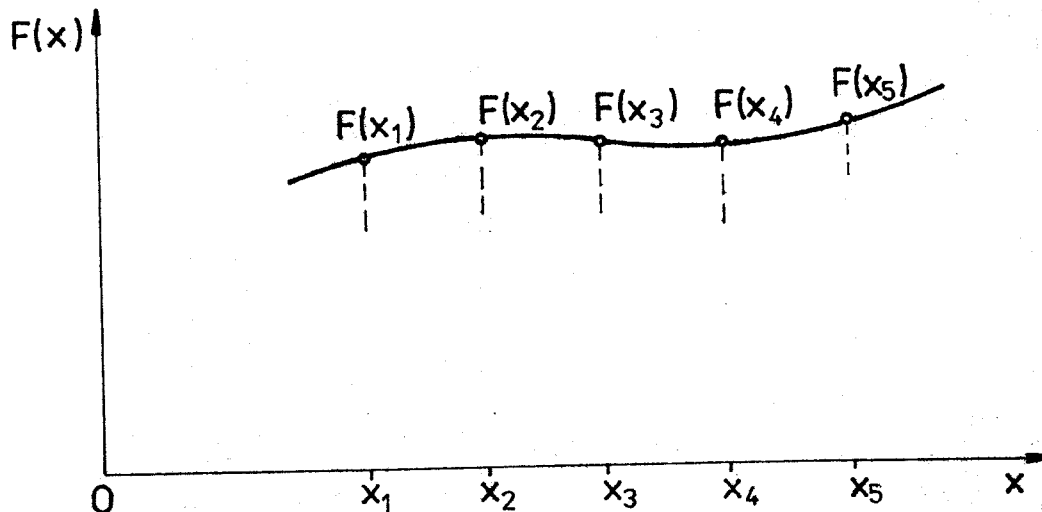
Úhel δ je úhel, o který je pootočen bod E vahadla od osy NL vahadla. Délka části vahadla b je dána vztahem

$$b = \overline{EL} = \sqrt{\overline{LM}^2 + \overline{EM}^2}. \quad (32)$$

Skutečné pootočení vačky určíme ze vztahu

$$\varphi = \varphi_R - \frac{y_b - d'}{R}. \quad (33)$$

Použitím Newtonova interpolačního polynomu pro pět bodů můžeme provést numerickou první a druhou derivaci. Získáme úhlovou rychlosť ψ' vahadla a úhlové zrychlení ψ'' . Označíme si úhel φ jako x a ψ_1 jako $F(x)$. Označení pěti bodů je znázorněno na obr. 9.



Obr. 9 Označení bodů pro použití Newtonova interpolačního polynomu.

Obecně platí pro funkční hodnotu $F(x)$ v jakémkoliv bodě x následující Newtonův interpolační polynom

$$P(x) \equiv F(x) = F(x_1) + F(x_1x_2) \cdot (x - x_1) + F(x_1x_2x_3) \cdot (x - x_1) \cdot (x - x_2) + \\ \cdot (x - x_3) + F(x_1x_2x_3x_4) \cdot (x - x_1) \cdot (x - x_2) \cdot (x - x_3) + \\ + F(x_1x_2x_3x_4x_5) \cdot (x - x_1) \cdot (x - x_2) \cdot (x - x_3) \cdot (x - x_4), \text{ kde} \quad (34)$$

$$F(x_1x_2) = \frac{F(x_2) - F(x_1)}{x_2 - x_1}, \quad (35)$$

$$F(x_1x_2x_3) = \frac{F(x_2x_3) - F(x_1x_2)}{x_3 - x_1}, \quad (36)$$

$$F(x_1x_2x_3x_4) = \frac{F(x_2x_3x_4) - F(x_1x_2x_3)}{x_4 - x_1} \quad a \quad (37)$$

$$F(x_1x_2x_3x_4x_5) = \frac{F(x_2x_3x_4x_5) - F(x_1x_2x_3x_4)}{x_5 - x_1}. \quad (38)$$

Derivací polynomu (34) a dosazením za $x=x_3$ získáme v bodě x_3 směrnici tečny ke křivce zadáné pěti body, neboli bezrozměrnou úhlovou rychlosť

$$P'(x_3) = F(x_1x_2) + F(x_1x_2x_3) \cdot (x_3 - x_1) + F(x_1x_2x_3) \cdot (x_3 - x_2) + \\ + F(x_1x_2x_3x_4) \cdot (x_3 - x_1) \cdot (x_3 - x_2) + F(x_1x_2x_3x_4x_5) \cdot \\ \cdot (x_3 - x_1) \cdot (x_3 - x_2) \cdot (x_3 - x_4). \quad (39)$$

Druhou derivací polynomu (34) a úpravou dostaneme vztah pro bezrozměrné zrychlení ve třetím bodě x_3

$$P''(x_3) = 2F(x_1x_2x_3) + 2F(x_1x_2x_3x_4) \cdot (x_3 - x_2) + 2F(x_1x_2x_3x_4) \cdot \\ \cdot (x_3 - x_1) + 2F(x_1x_2x_3x_4x_5) \cdot (x_3 - x_2) \cdot (x_3 - x_4) + \\ + 2F(x_1x_2x_3x_4x_5) \cdot (x_3 - x_1) \cdot (x_3 - x_4) + 2F(x_1x_2x_3x_4x_5) \cdot \\ \cdot (x_3 - x_1) \cdot (x_3 - x_2) . \quad (40)$$

Úhlová rychlosť v bodě x_3 se určí ze vztahu

$$\omega_3 = P'(x_3) \cdot \omega_{\text{vač}}, \quad (41)$$

a úhlové zrychlení ze vztahu

$$\varepsilon_3 = P''(x_3) \cdot \omega_{\text{vač}}^2. \quad (42)$$

4.4. Výpočet na číslicovém počítači, vývojový diagram a výpočtový program

Celý výpočet se skládá z hlavního programu a podprogramu DER. V hlavním programu se nejprve spočítají skutečné úhly pootočení x bubnové vačky. Pro použití Newtonova interpolačního polynomu je zapotřebí znát pro výpočet první hodnoty $P'(x)$ další dvě předešlé hodnoty x . Proto je celá řada úhlů x na začátku rozšířena o dvě hodnoty z konce řady a naopak k hodnotám na konci řady jsou přiřazeny dvě hodnoty ze začátku. Totéž je provedeno pro funkční hodnoty $F(x)$.

V další části programu se pomocí podprogramu počítají veškeré koeficienty, které se vyskytují v Newtonově interpolačním polynomu. Po té se počítají první a druhé derivace. Program je sestaven tak, že během výpočtu jsou veškeré hodnoty, potřebné k druhé části kinematické analýzy, děrovány na zvláštní pásku. Výpočet je proveden pro všech 361 zadaných souřadnic bubnové vačky. Schéma výpočtu je znázorněno vývojovým diagramem 2 a výpis programu s vlastním výpočtem je obsahem přílohy č. 2a.

Označení veličin pro program:

$$\alpha \equiv \varphi' \sim \text{ALFA}$$

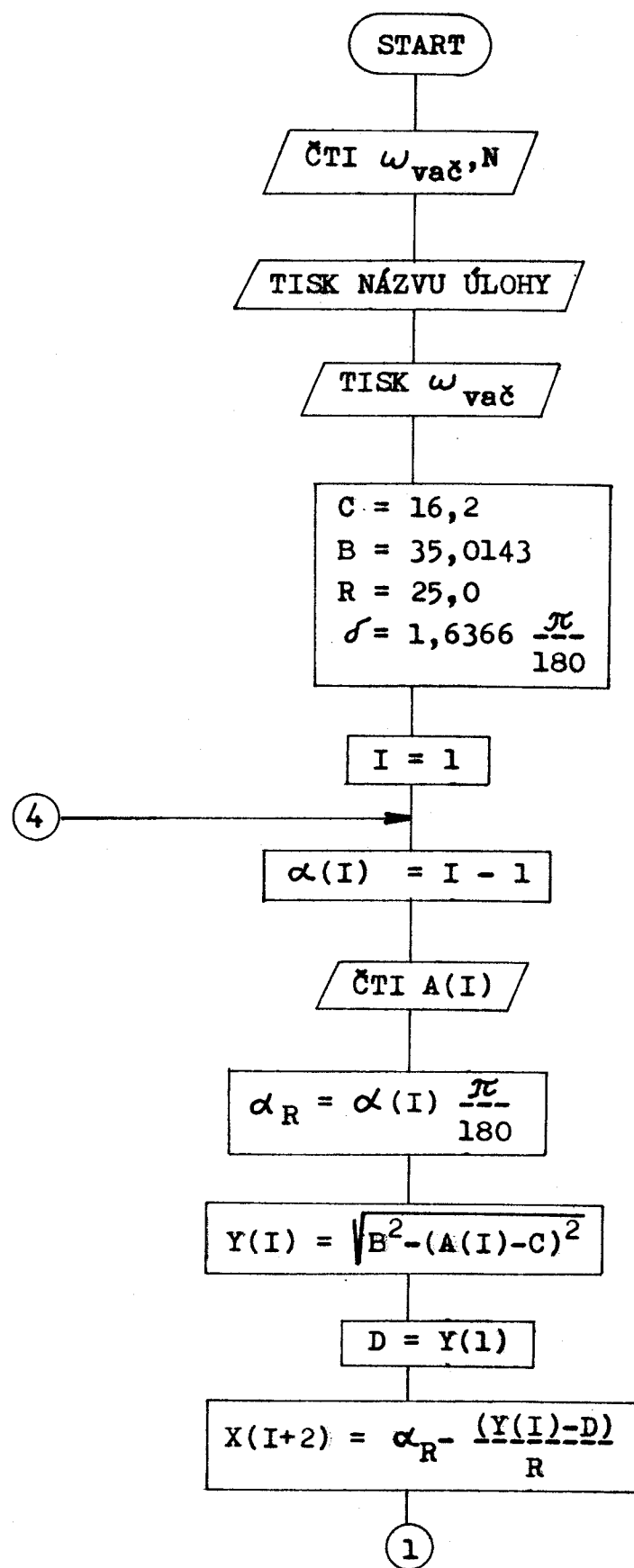
$$\varphi \equiv x \sim x(I)$$

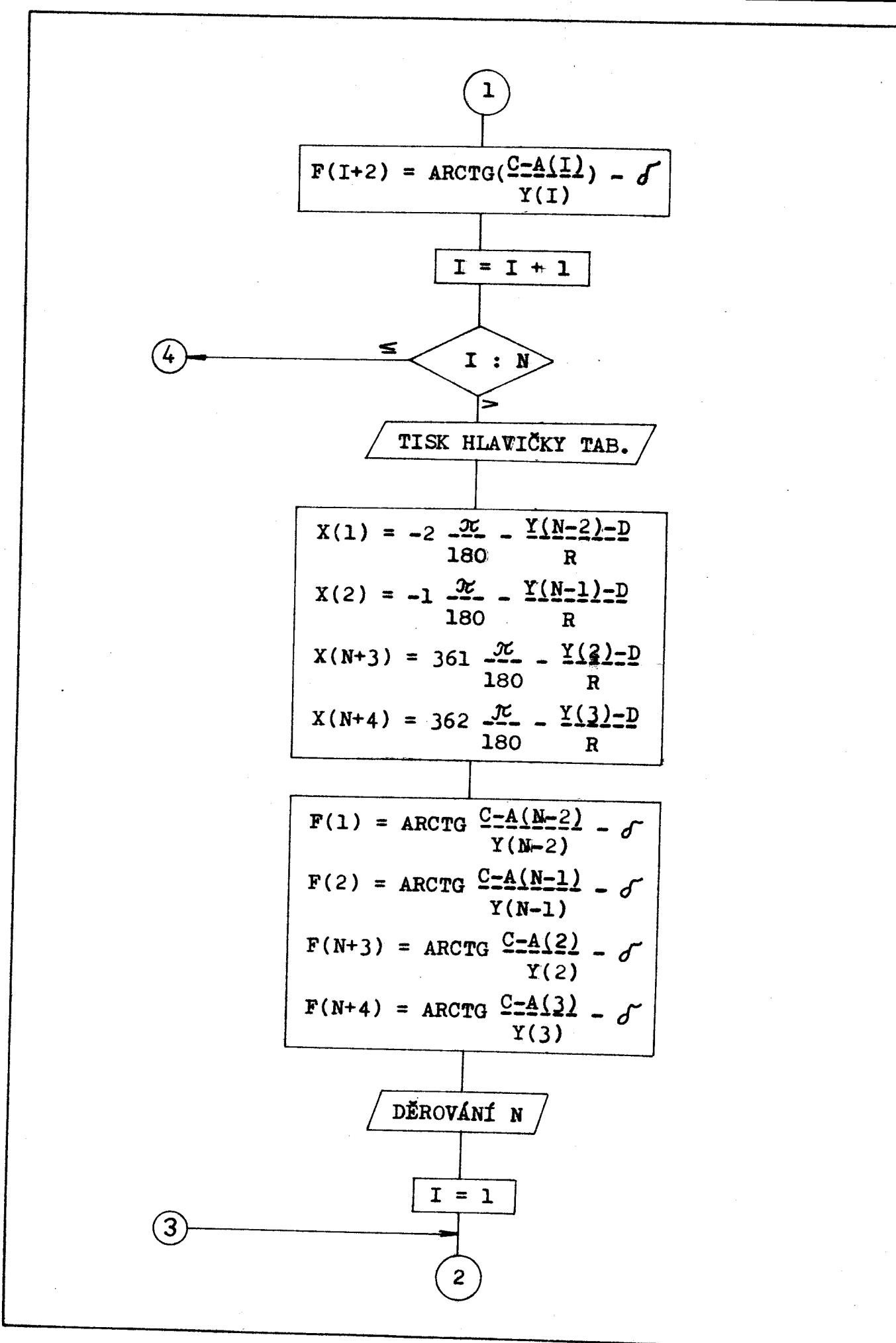
$$\alpha_R \equiv \varphi'_R \sim \text{ALFAR}$$

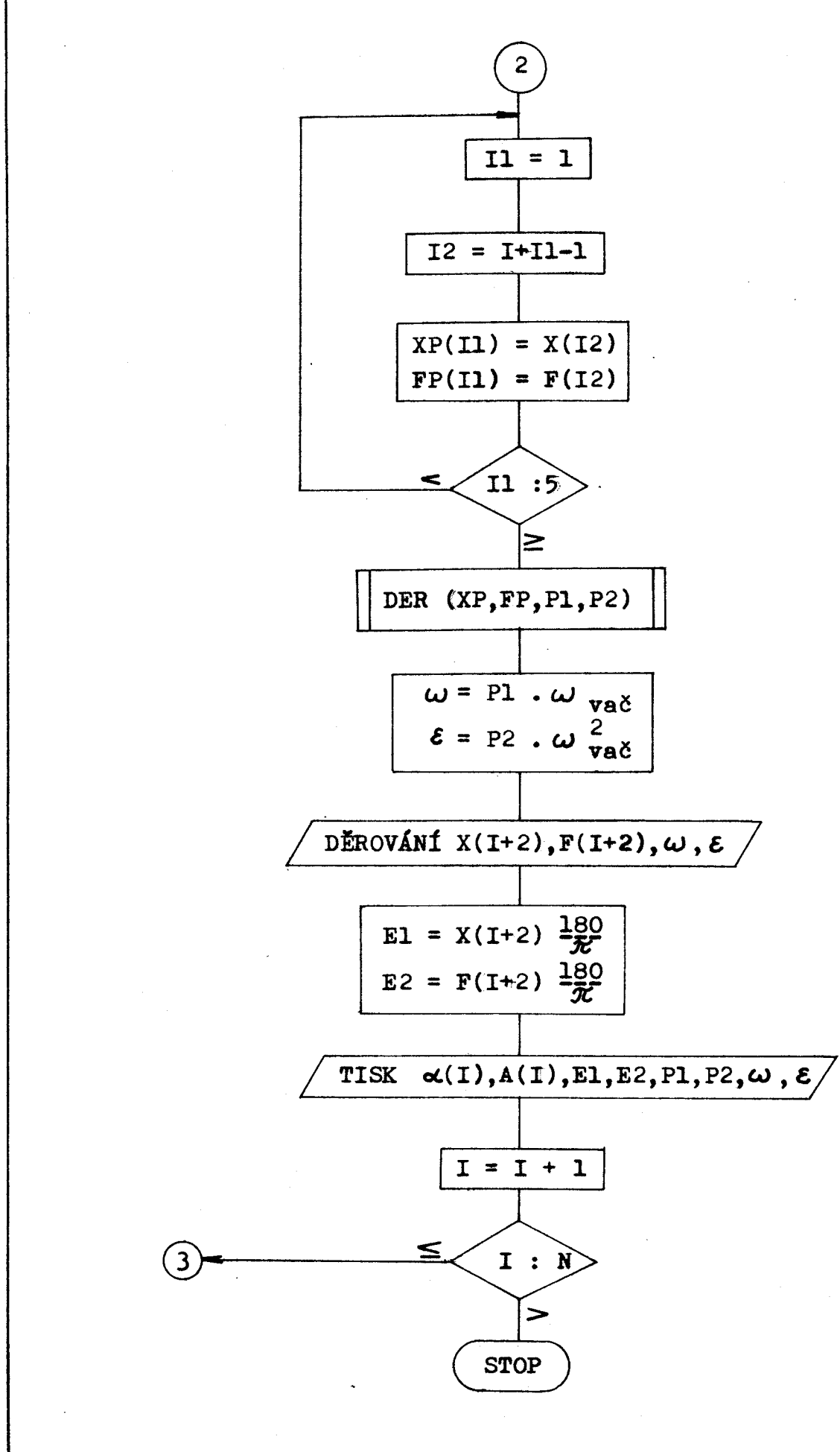
$$\psi_1 \equiv F(x) \sim F(I)$$

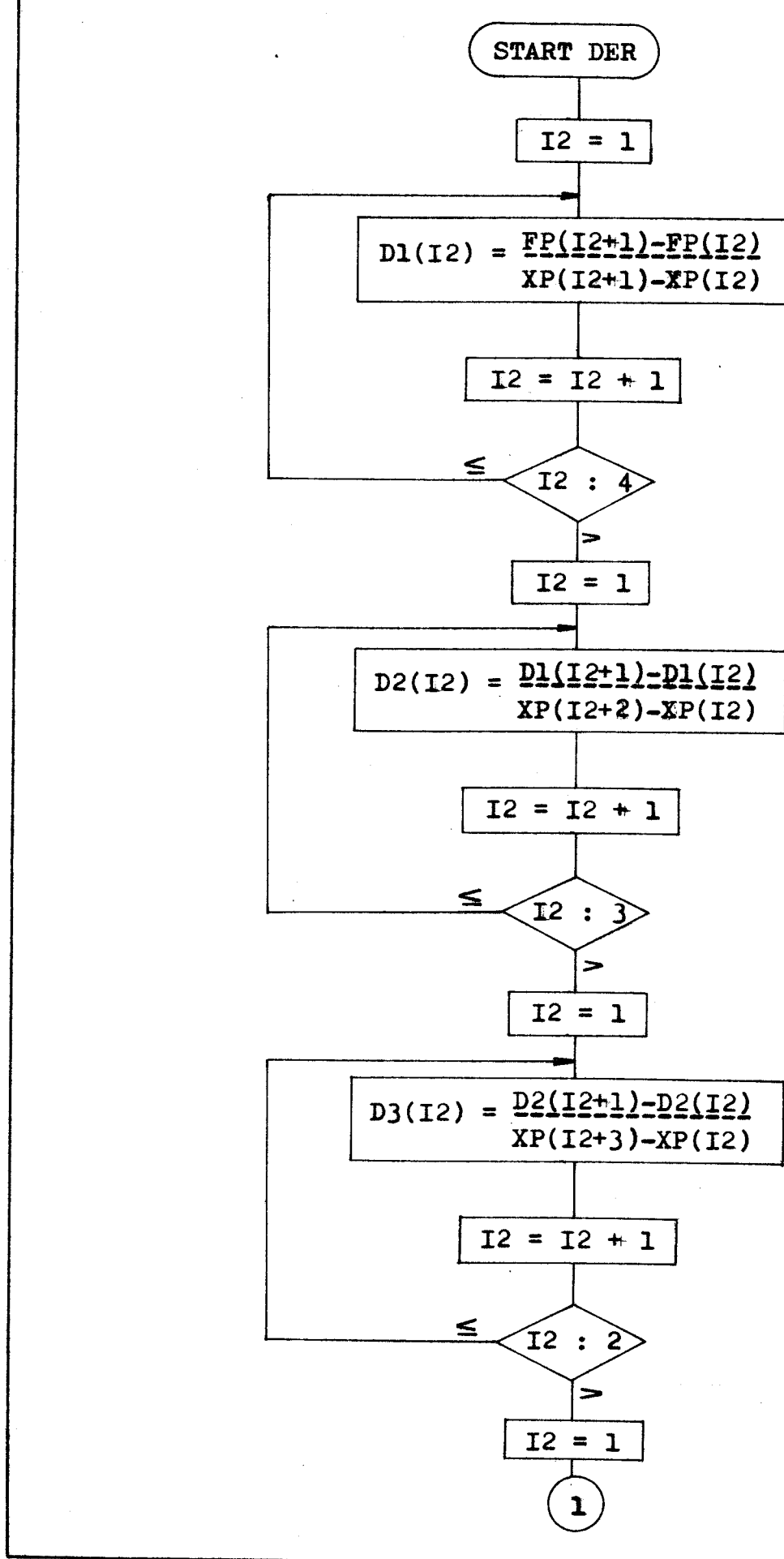
$\delta \sim \text{DEL}$ $c' \sim c$ $\omega_{\text{vac}} \sim \text{OMVAC}$ $F(x_1 x_2) \sim D1$ $\omega_3 \sim \text{OM}$ $F(x_1 x_2 x_3) \sim D2$ $\epsilon_3 \sim \text{EPS}$ $F(x_1 x_2 x_3 x_4) \sim D3$ $a' \sim A(I)$ $F(x_1 x_2 x_3 x_4 x_5) \sim D4$ $y_b \sim Y(I)$ $y_{b1} \sim Y(1) \sim D$

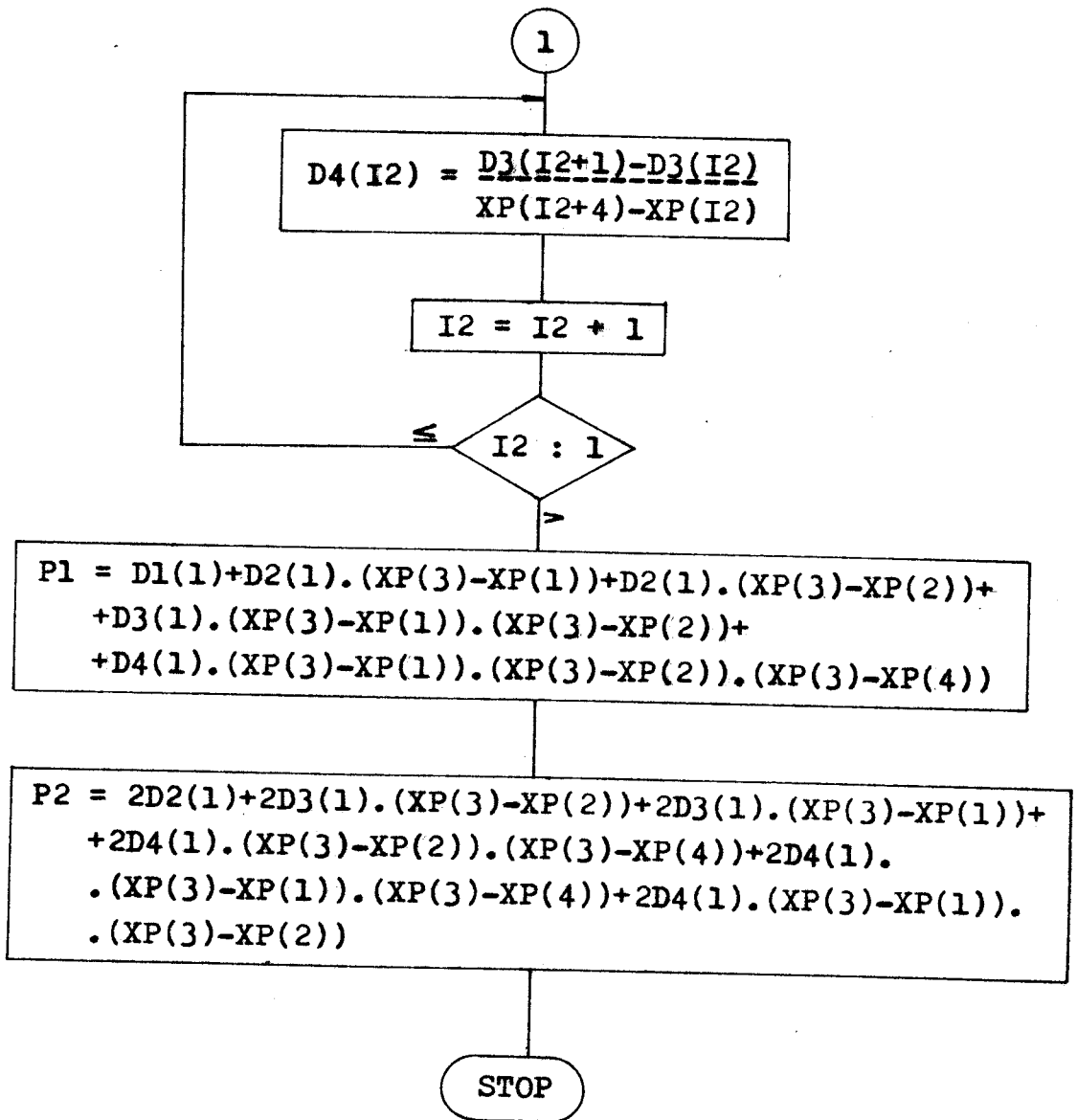
Vývojový diagram č.2: 1.část kinematické analýzy mechanismu
pohonu nakládací hlavy











4.5. 2. část kinematické analýzy mechanismu nakládací hlavy

V této části kinematické analýzy již známe polohu, rychlosť a zrychlení vahadla LN. Pro určení kinematických poměrů na savce, která je součástí táhla PN, lze použít kinematiky koncového bodu binární skupiny. Na KTK byly k dispozici programy, které řeší kinematiku koncového bodu binární skupiny pohybujícího se po přímce a po kružnici. Pro výpočet je použit

to komplexních čísel, čímž se celý výpočet značně zjednoduší a výsledky jsou přehledné. Sledovaný pohyb savky nejlépe vyštihuje právě složky dráhy, rychlosti a zrychlení do os souřadného systému $[0; x, y]$, neboli komplexně vyjádřená dráha, rychlosť a zrychlení. Oba případy pohybu bodu binární skupiny po dráze jsou znázorněny na obr. 10 a 11.

Určení polohy binární skupiny - dráha koncového bodu přímka

Binární skupina na obr. 10 je tvořena členy \bar{AB} a \bar{MB} . Její poloha je určena souřadnicemi pevného bodu $M = (x_M, y_M)$ a bodu $A = (x_A, y_A)$, který představuje v aplikaci na nás případ koncový bod N vahadla. Bod $B = (x_B, y_B)$ je vlastně bodem P (obr. 3) v našem mechanismu. Přímka ve směru jednotkového vektoru $\vec{\eta}$ je přímkovou dráhou bodu B. Rovnice přímky, procházející body M a B, má tvar

$$z_B = z_M + \eta \cdot s, \text{ kde} \quad (43)$$

$z_B = x_B + iy_B$, $z_M = x_M + iy_M$, $\eta = \cos \alpha + i \cdot \sin \alpha$ a s je reálný parametr. Představuje vzdálenost mezi body B a M.

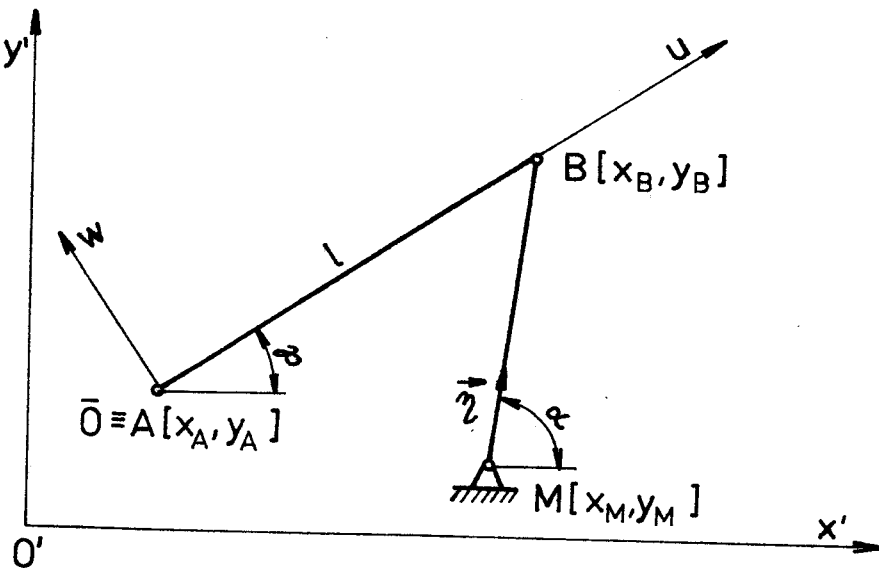
Z obr. 10 vyplývá vztah mezi body A a B

$$z_A + l \cdot e^{i\varphi} = z_B. \quad (44)$$

Z rovnic (43) a (44) po úpravě obdržíme vztah, který platí i pro komplexně sdružená čísla

$$l \cdot e^{i\varphi} = z_M - z_A + \eta \cdot s, \quad (45)$$

$$l \cdot e^{-i\varphi} = \bar{z}_M - \bar{z}_A + \bar{\eta} \cdot s.$$



Obr.10 Schéma binérní skupiny-dráha koncového bodu přímka.

Zavedením vztahu $\Delta z = z_M - z_A$ plyne z rovnic (45) vztah

$$l^2 = (\Delta z + \eta \cdot s) \cdot (\bar{\Delta z} + \bar{\eta} \cdot s), \quad (46)$$

Po další úpravě získáme

$$s^2 \cdot A + s \cdot B + C = 0, \quad (47)$$

$$\text{kde } A = |\eta|^2 l^2 = 1, \quad (48)$$

$$B = 2 \cdot \text{real}(\eta) \cdot \text{real}(\Delta z) + \text{im}(\eta) \cdot \text{im}(\Delta z) \quad a^* \quad (49)$$

$$C = -l^2 + \Delta z^2. \quad (50)$$

Reálný parametr S lze stanovit řešením kvadratické rovnice

(47). Derivací rovnic (45) dostaneme vztahy pro rychlosť

$$v_A + l \cdot i \cdot \omega_4 \cdot e^{i\varphi} = \eta \cdot v_4,$$

$$\bar{v}_A - l \cdot i \cdot \omega_4 \cdot e^{-i\varphi} = \bar{\eta} \cdot v_4. \quad (51)$$

Jednoduchou úpravou rovnice (51) získáme vztah pro úhlovou rychlosť členu 4 (obr.3)

$$\omega_4 = \frac{\eta \cdot v_A - \eta \cdot v_A}{l.i.(\eta \cdot e^{i\varphi} + \eta \cdot e^{-i\varphi})} . \quad (52)$$

Další derivací vztahů (51) a jednoduchou úpravou obdržíme vztah pro úhlovou rychlosť a zrychlení

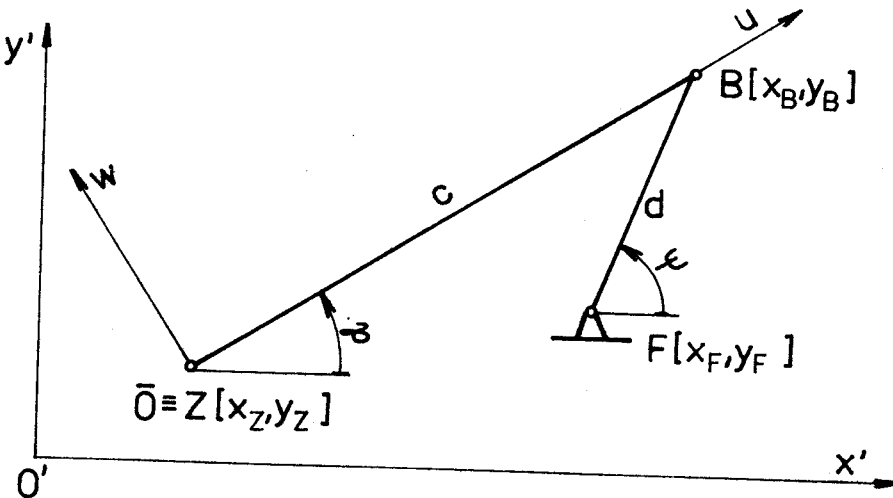
$$\varepsilon_4 = \frac{\eta \cdot p - \eta \cdot p}{l.i.(\eta \cdot e^{i\varphi} + \eta \cdot e^{-i\varphi})} , \quad (53)$$

$$\bullet_4 = \frac{p + l.i.e^{i\varphi}}{\eta} , \text{ kde} \quad (54)$$

$$p = a_A - l.\omega_4^2 \cdot e^{i\varphi} , v_A = v_3 \text{ a } a_A = a_3 . \quad (55)$$

Určení polohy binární skupiny - dráha koncového bodu kružnice

Binární skupina na obr.11 je tvořena délkami členů c a d. Její poloha je určena souřadnicemi pevného bodu $F \equiv (x_F, y_F)$, který představuje střed kruhové dráhy, a úhlem ψ , který udává polohu bodu B na kružnici s poloměrem d. Bod $Z \equiv (x_Z, y_Z)$ je opět koncovým bodem N vahadla a bod B představuje bod P táhla.



Obr.11 Schéma binární skupiny-dráha koncového bodu kružnice.

Průměty členů binární skupiny do směru os x' a y' souřadného systému $[0'; x', y']$ jsou

$$c \cdot \cos \varphi - d \cdot \cos \psi = x_F - x_Z = D_x , \quad (56)$$

$$c \cdot \sin \varphi - d \cdot \sin \psi = y_F - y_Z = D_y ; \quad (57)$$

po úpravě platí

$$c \cdot \cos \varphi = D_x + d \cdot \cos \psi , \quad (58)$$

$$c \cdot \sin \varphi = D_y + d \cdot \sin \psi . \quad (59)$$

Z rovnic (56) až (59) lze vyjádřit vztahy pro ψ a φ

$$\cos \psi = \frac{D_y \cdot G \pm D_x \sqrt{D_x^2 + D_y^2 - G^2}}{D_x^2 + D_y^2} , \quad (60)$$

$$\sin \psi = \frac{D_y \cdot G \mp D_x \sqrt{D_x^2 + D_y^2 - G^2}}{D_x^2 + D_y^2} , \text{ kde} \quad (61)$$

$$G = \frac{c^2 - D_x^2 - D_y^2 - d^2}{2 \cdot d} ; \quad (62)$$

$$\cos \varphi = \frac{D_x \cdot G_1 \pm D_y \sqrt{D_x^2 + D_y^2 - G_1^2}}{D_x^2 + D_y^2} , \quad (63)$$

$$\sin \varphi = \frac{D_y \cdot G_1 \mp D_x \sqrt{D_x^2 + D_y^2 - G_1^2}}{D_x^2 + D_y^2} , \text{ kde.} \quad (64)$$

$$G_1 = \frac{c^2 + D_x^2 + D_y^2 - d^2}{2 \cdot c} . \quad (65)$$

Pro odvození kinematiky binární skupiny si zavedeme označení polohy členů c a d

$$C = c \cdot e^{i\varphi} , \quad (66)$$

$$D = d \cdot e^{i\varphi} . \quad (67)$$

Poloha, rychlosť a zrychlení bodu Z binárnej skupiny je dáná komplexnými číslami Z , $V = v_3$, $A = a_3$. Z obr. ll je zrejmý vzťah mezi body Z a F

$$Z + c \cdot e^{i\varphi} - d \cdot e^{i\psi} = F . \quad (68)$$

Derivácií rovnice (68) získáme vzťah

$$V + i \cdot \omega_c \cdot c \cdot e^{i\varphi} - i \cdot \omega_d \cdot d \cdot e^{i\psi} = 0 \quad (69)$$

Upravená rovnica (69) platí i pro komplexně sdružená čísla

$$i \cdot \omega_d \cdot d \cdot e^{i\psi} = V + i \cdot \omega_c \cdot c , \quad (70)$$

$$-i \cdot \omega_d \cdot d \cdot e^{-i\psi} = \bar{V} - i \cdot \omega_c \cdot \bar{c} . \quad (71)$$

Z rovnic (70) a (71) dostaneme vzťah pro výpočet úhlové rychlosti členu c

$$\omega_c = \frac{i \cdot (\bar{V} \cdot e^{i2\psi} + V)}{(c - \bar{c} \cdot e^{i2\psi})} . \quad (72)$$

Pomocí rovnic (66), (67) a (69) lze vyjádriť vzťah pro úhlovou rychlosť členu d

$$\omega_d = - \frac{V + i \cdot c \cdot \omega_c}{i \cdot D} . \quad (73)$$

Derivácií rovnice (69) a ďalším úpravou obdržíme vzťahy pro úhlové zrychlení člennu c a d

$$A - \omega_c^2 \cdot c \cdot e^{i\varphi} + i \cdot \varepsilon_c \cdot c \cdot e^{i\varphi} + \omega_d^2 \cdot d \cdot e^{i\psi} - i \cdot \varepsilon_d \cdot d \cdot e^{i\psi} = 0 , \quad (74)$$

$$\varepsilon_d = \frac{-i \cdot (p + p \cdot e^{i2\psi})}{\bar{c} \cdot e^{i2\psi} - c} , \quad (75)$$

$$\varepsilon_d = \frac{p + i \cdot \varepsilon_c \cdot c}{i \cdot D} \quad a \quad (76)$$

$$p = A - \omega_c^2 \cdot c + \omega_d^2 \cdot D. \quad (77)$$

Bod Z binární skupiny je totožný s bodem N mechanismu a jeho pohyb je určen otáčením vahadla o délce \overline{LN} , jehož osa otáčení je umístěna v počátku souřadného systému $[0; x, y]$. Poloha vahadla je dána úhlem pootočení ψ_1 a otáčí se úhlovou rychlosí ω_3 a úhlovým zrychlením ε_3 . Poloha koncového bodu Z je určena komplexním číslem

$$Z = \overline{LN} \cdot e^{i\psi_1}, \quad (78)$$

rychlota a zrychlení

$$V = i \cdot \omega_3 \cdot Z, \quad (79)$$

$$A = -\omega_3^2 \cdot Z + i \cdot \varepsilon_3 \cdot Z. \quad (80)$$

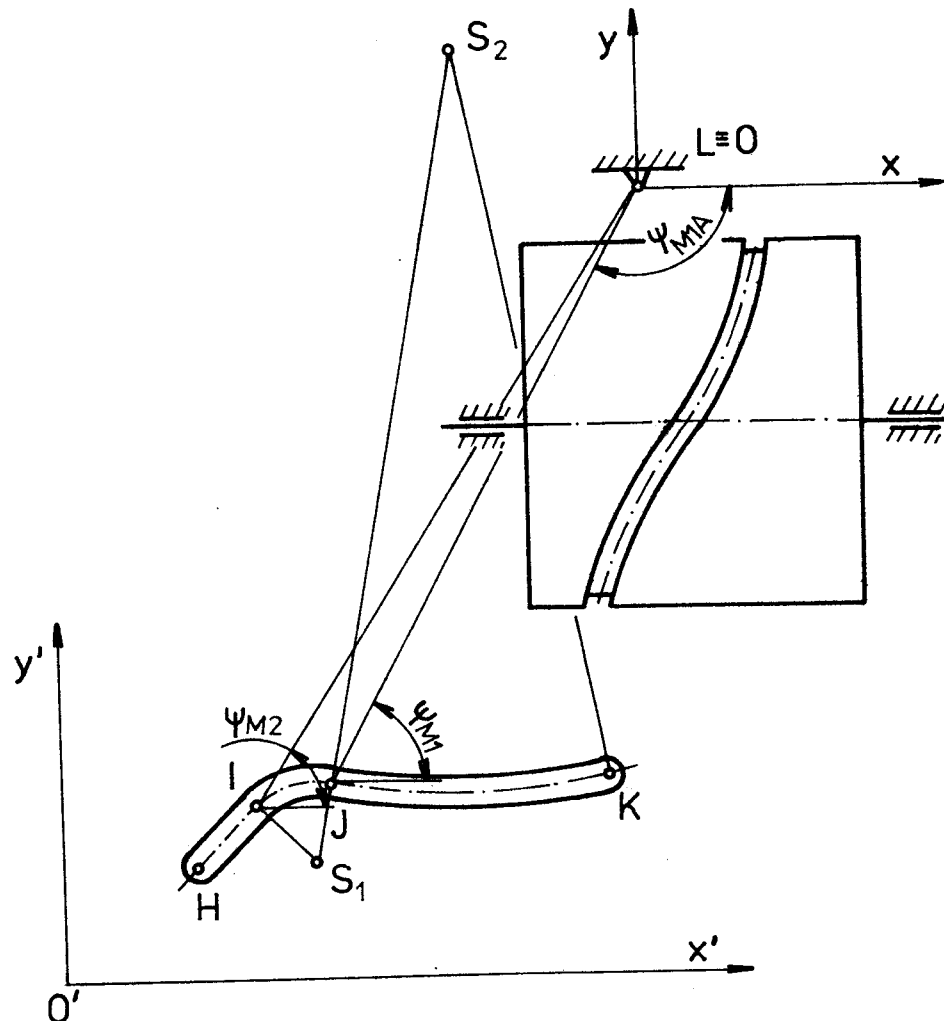
4.6. Výpočet na číslicovém počítači, vývojový diagram a výpočtový program

Celý program se skládá z hlavního programu a dvou podprogramů, které řeší kinematiku pohybu bodu binární skupiny jednak po přímce (ozn. KINKL) a jednak po kružnici (ozn. KINDV). Program je sestaven tak, že nejprve výpočet proběhne podle prvního podprogramu KINKL a testuje se parametr S. Pokud je záporný, mechanismus se nachází stále v první části vedení (obr.12). Při přechodu mechanismu z první do druhé části vedení se spočítá parametr S podle prvního podprogramu a je-li kladný, výpočet se převede do druhého podprogramu.

Při výpočtu podle podprogramu KINDV se kontroluje úhel ψ (obr.11). Po překročení mezního úhlu ψ_{M1} (obr.12) se mechanismus nalézá ve třetí části vedení a jemu opět odpovídá pod-

program KINDW, ovšem s jinými parametry. Jestliže při návratu ze třetí do druhé části vedení úhel ψ přesáhne úhel ψ_{M1A} , bude výpočet probíhat podle podprogramu pro druhou část vedení. Zavedením souřadného systému $[O; u, w]$ (obr.11) je možno určit kinematiku jakéhokoliv bodu pevně spojeného s tábrem PN.

Program je sestaven tak, aby bez problémů počítač počítal i na rozhraní jednotlivých částí vedení. Schéma výpočtu je znázorněno vývojovým diagramem č.3 a výpočet, provedený pro bod S, je obsahem přílohy č.3a.



Obr.12 Znázornění mezních úhlů, které ohraničují jednotlivé části vedení.

Označení veličin pro program:

| | |
|------------------------|---------------------------|
| $c \equiv 1 \sim AC$ | $\varepsilon_A \sim EPSA$ |
| $d \sim AD$ | $\gamma \sim ETA$ |
| $e^i \rho \sim EIGAMA$ | $\psi \sim PSI$ |
| $e^i \psi \sim EIPSI$ | $\psi_1 \sim PSI1$ |
| $F \sim L1, L2$ | $\Psi_{M1A} \sim PSIM1A$ |
| $LN \sim B$ | $\omega \sim OM$ |
| $S [u_S, w_S] \sim VS$ | $\omega_A \sim OMEGA$ |
| $\varepsilon \sim EPS$ | |

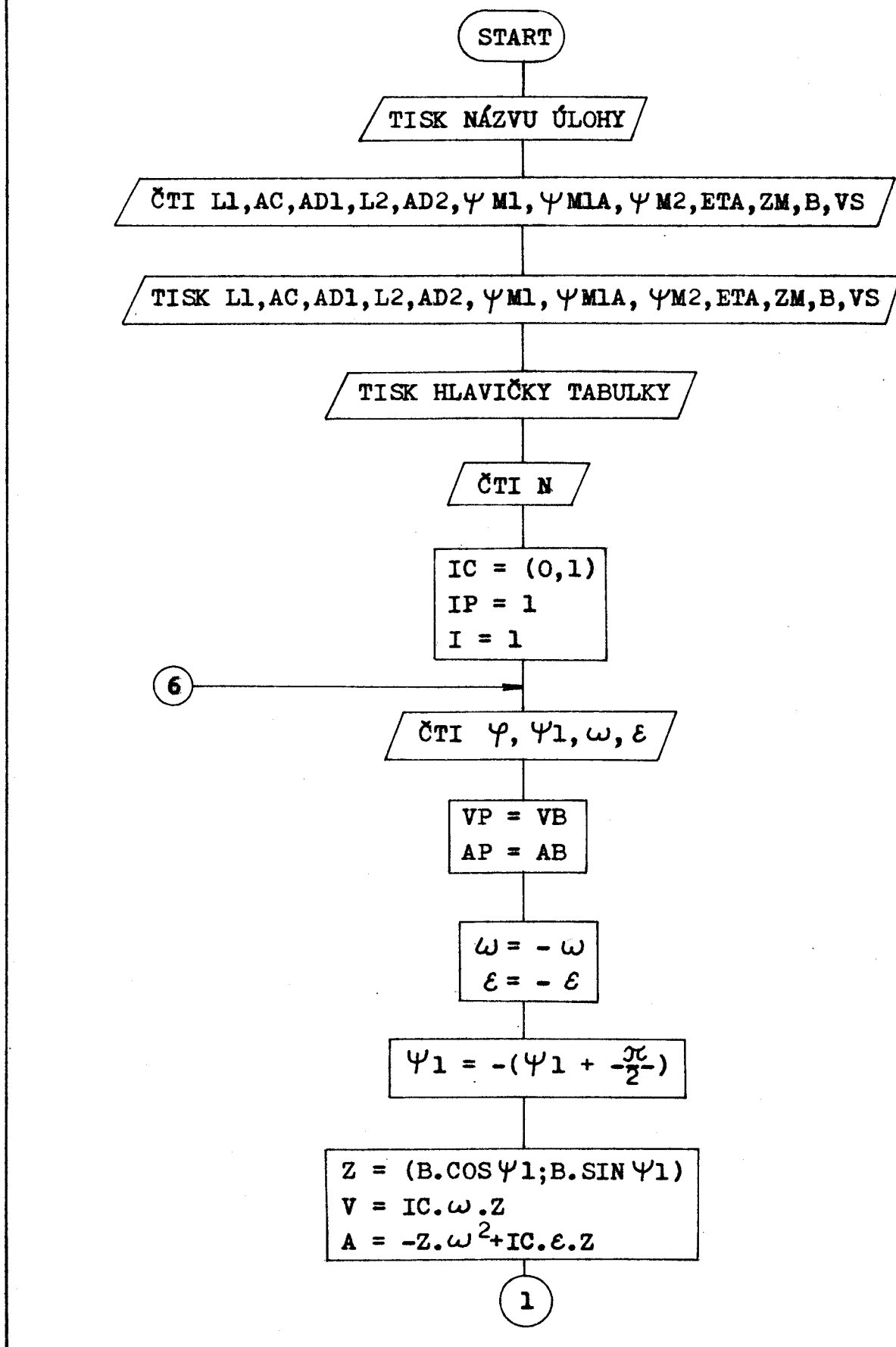
5. Dynamické poměry v drážce vedení savek

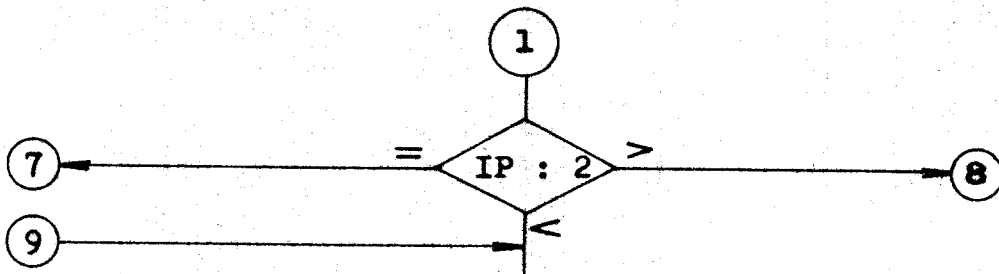
Táhlo PN nese konstrukci savek a styk táhla s drážkou je zajištěn pomocí dvou rolniček na jehlových ložiskách. Hmotnost táhla a moment setrvačnosti mají vliv na velikost sil v drážce vedení. Velikost a směr sil podstatně ovlivní rychlosť opotřebení drážky. Táhlo PN vykonává při chodu mechanismu obecný pohyb, přičemž druhý rotační pohyb je vázán na drážku vedení. Pro řešení dynamických poměrů v drážce se předpokládá valivý pohyb mezi rolničkou na táhle PN a bokem drážky vedení a nulová odchylka mezi průměrem frézy a průměrem rolničky. Zanedbává se valivý odpor a odstředivá síla v bodě P. Určení dynamických poměrů tedy znamená stanovit normálnou dynamickou sílu na boky drážky vedení.

Těžiště a moment setrvačnosti táhla

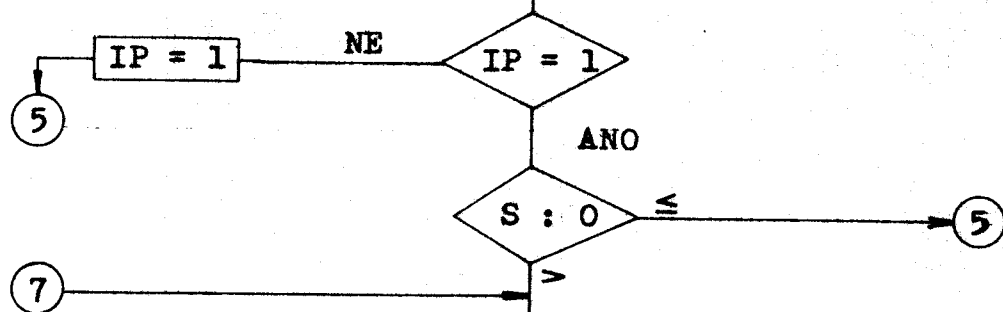
Táhlo se savekami (obr.13) nemá v rovině $[0; x, y]$ žádnou osu souměrnosti. Těžiště $T = (x_T, y_T)$ se určí zavěšením v bodech P a N. Jelikož je vzdálenost e těžiště T od bodu P malá a přitom značná nepřesnost při jeho zjištění, lze pro výpočet dyna-

Vývojový diagram č.3: 2. část kinematické analýzy mechanismu
pohonu nakládací hlavy

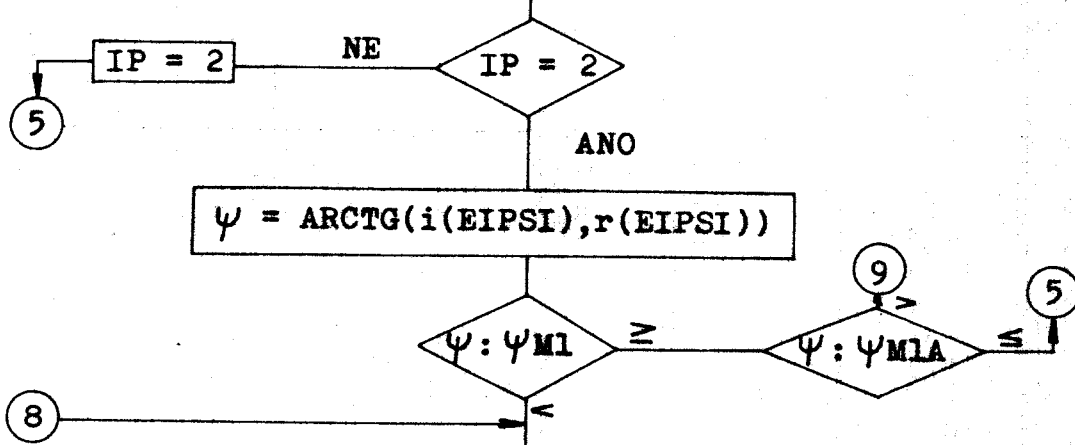




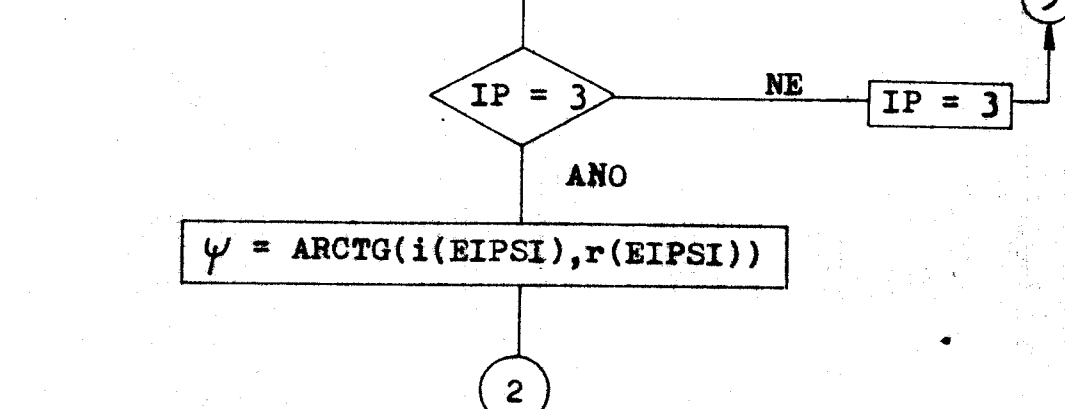
KINKL(Z,V,A,AC,-1,ETA,ZM,EIGAMA,OMEGA,EPSA,S,V1,A1)

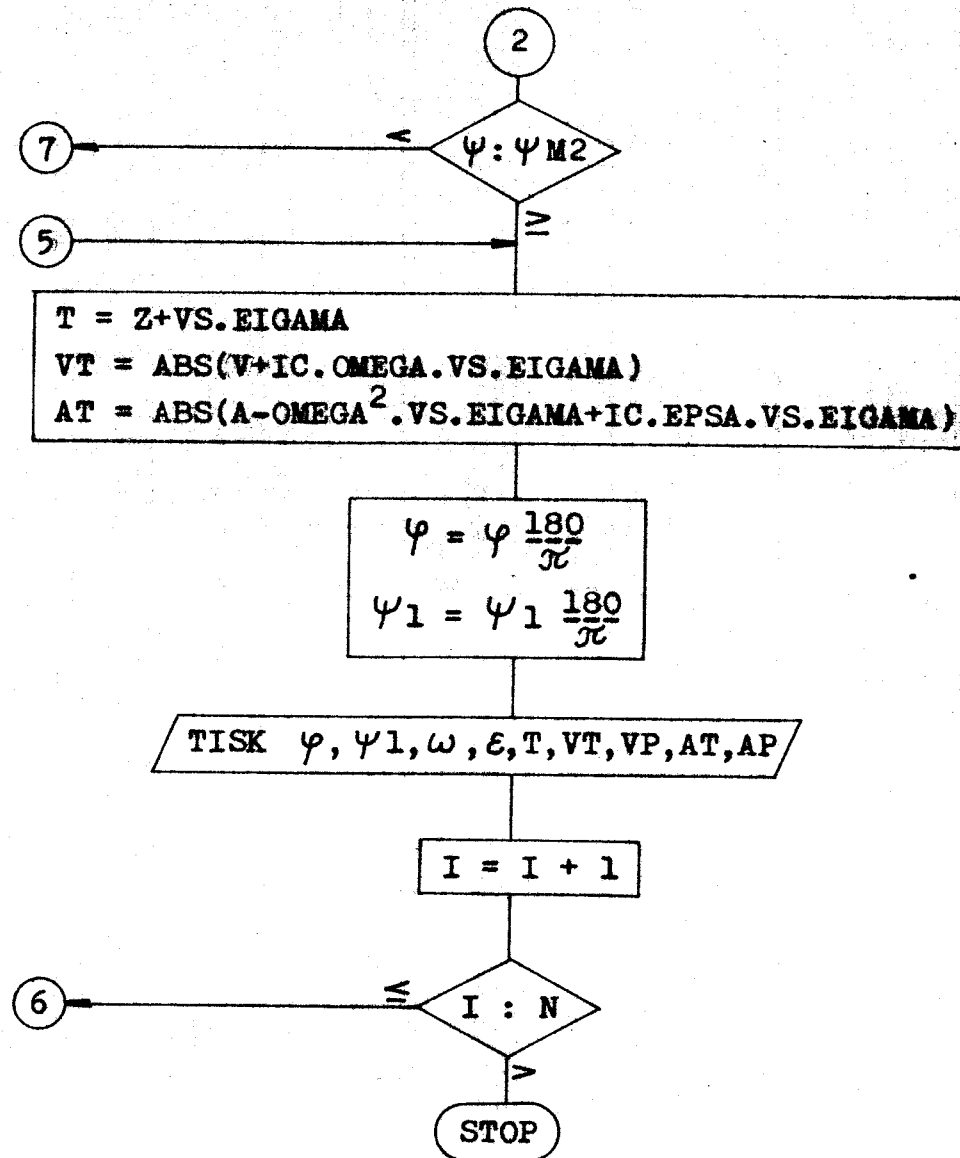


KINDV(Z,V,A,L1,AC,AD1,1,EIGAMA,OMEGA,
EPSA,EIPSI,OMEGB,EPSB,TAU)



KINDV(Z,V,A,L2,AC,AD2,-1,EIGAMA,OMEGA,
EPSA,EIPSI,OMEGB,EPSB,TAU)



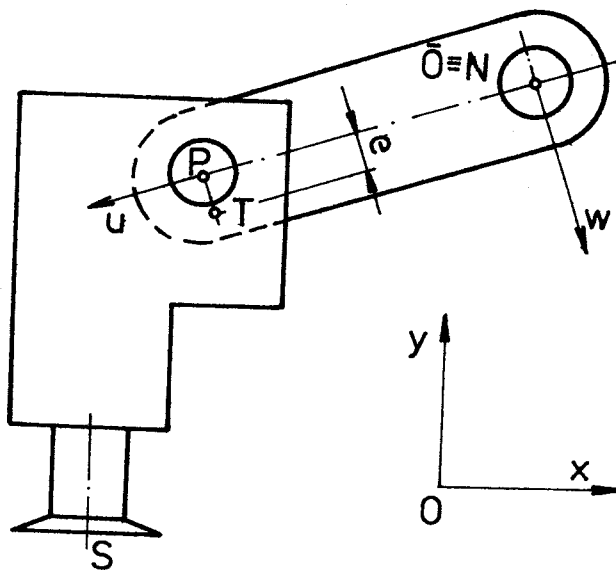


mické síly předpokládat totožnost těžiště T s bodem P. V mechanismu se otáčí táhlo kolem bodu N. Metodou kyvu a dalším přeypočtem se zjistí moment setrvačnosti I_N k tomuto bodu. Vážením se stanoví hmotnost m konstrukce tálka.

5.1. Sestavení algoritmu pro výpočet dynamických poměrů v drážce vedení

Pro výpočet dynamických poměrů v drážce vedení je použito kinetostatického řešení, které je pro výpočet na počítači nej-

jednodušší metodou. K vlastnímu výpočtu je třeba znát zrychlení členu 3 v bodě N, úhlové zrychlení ε relativního rotačního pohybu a směr NC normálné síly F_N v dané poloze bodu P ve vedení. Pro přímkovou část vedení je $NC \equiv \text{ETA}$, pro kruhovou část je $NC \equiv \text{EIPSI}$. Funkce drážky vedení je pro výpočet nahrazena reakcí F_N , takže dynamická síla členu 4 bude mít na drážku opačný účinek. Dynamické účinky členu 3 na člen 4 jsou nahrazeny silou F. Tím se převádí řešení obecného pohybu členu 4 na rovnováhu momentů, ze které lze vyjádřit velikost síly F_N .



Obr.13 Schéma konstrukce táhla se savkami.

Z obr.14 vyplývá vztah pro moment k bodu P

$$M_o = -F_x \cdot \bar{AC} \cdot \sin \rho + F_y \cdot \bar{AC} \cdot \cos \rho + I_N \cdot \varepsilon, \text{ kde } \quad (81)$$

$$F_x = m \cdot a_x, \quad F_y = m \cdot a_y, \quad \vec{a} = \vec{a}_x + \vec{a}_y \quad \text{a} \quad \vec{F} = \vec{F}_x + \vec{F}_y.$$

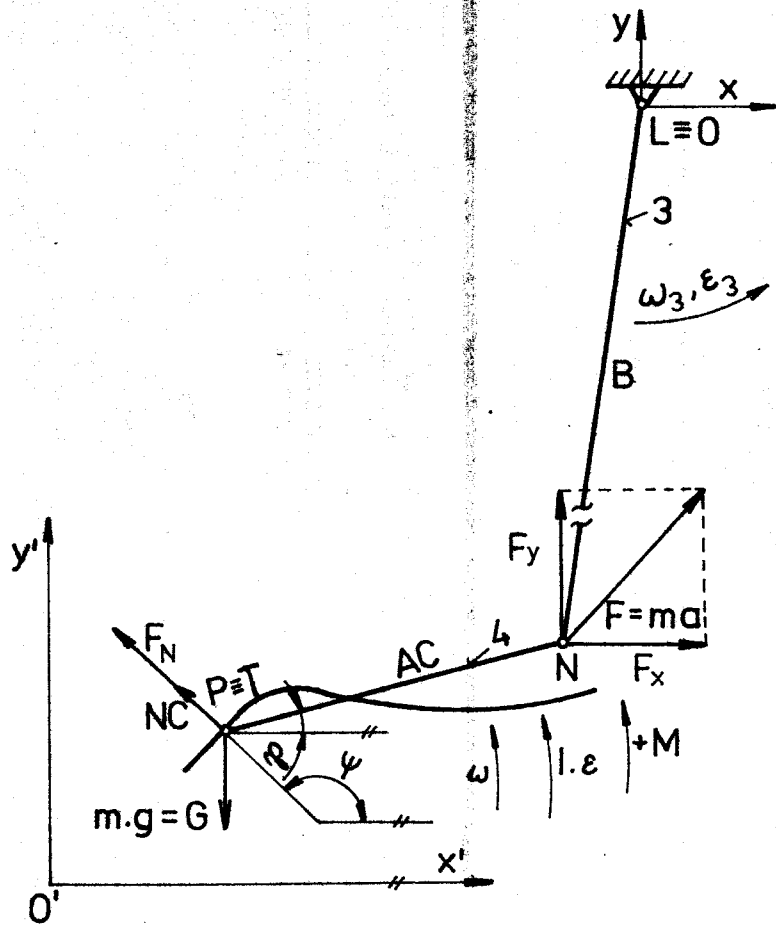
Průměty tábela \bar{AC} do os x a y budou

$$P = [\bar{AC} \cdot \cos \rho; \bar{AC} \cdot \sin \rho] = \text{EIGAMA} \cdot \bar{AC}, \text{ kde} \quad (82)$$

$$\text{EIGAMA} = \cos \rho + i \cdot \sin \rho. \quad (83)$$

Úpravou rovnice (81) získáme vztah

$$M_o = \text{REAL}(P \cdot IC \cdot \vec{F}) + I_N \cdot \varepsilon, \text{ kde} \quad (84)$$



Obr. 14 Schéma kinetostatického řešení.

$\text{IC} = (0,1)$ je vlastně vektor \bar{t} , \bar{F} je komplexně sdružené číslo k číslu F . Moment k bodu N je dán vztahem

$$M_N = \text{REAL}(P \cdot \text{IC} \cdot \bar{F}_N) - \text{REAL}(P \cdot m \cdot g) = \text{REAL}(P \cdot \text{IC} \cdot NC \cdot |F_N|) - \\ - \text{REAL}(P \cdot m \cdot g), \text{ kde} \quad (85)$$

NC je komplexní číslo a vyjadřuje

$$NC = \cos \eta + i \sin \eta. \quad (86)$$

pro přímkovou část vedení a

$$NC = \cos \psi + i \sin \psi \quad (87)$$

pro kruhovou část vedení. Rovnovážná rovnice má tvar

$$M_o + M_N = 0, \quad (88)$$

ze které plyne výsledný vztah pro velikost dynamické síly F_N

$$F_N = \frac{-M_o + \text{REAL}(P \cdot m \cdot g)}{\text{REAL}(P \cdot \text{IC} \cdot NC)}. \quad (89)$$

5.2. Vývojový diagram a výpočtový program

Pro výpočet dynamické síly je zapotřebí znát kinematické poměry v drážce, tzn. bodu P tábla. Proto program pro výpočet dynamické síly je rozšířeným programem kinematické analýzy tábla o dynamiku. Ve výpočtu se zavádí jednotkový vektor $\bar{N}C$, který má směr normály k drážce v dané poloze mechanismu. Schéma programu je znázorněno vývojovým diagramem č. 4, výpočet obsahuje příloha č. 4a a průběh dynamické síly graficky zachycuje příloha č. 10.

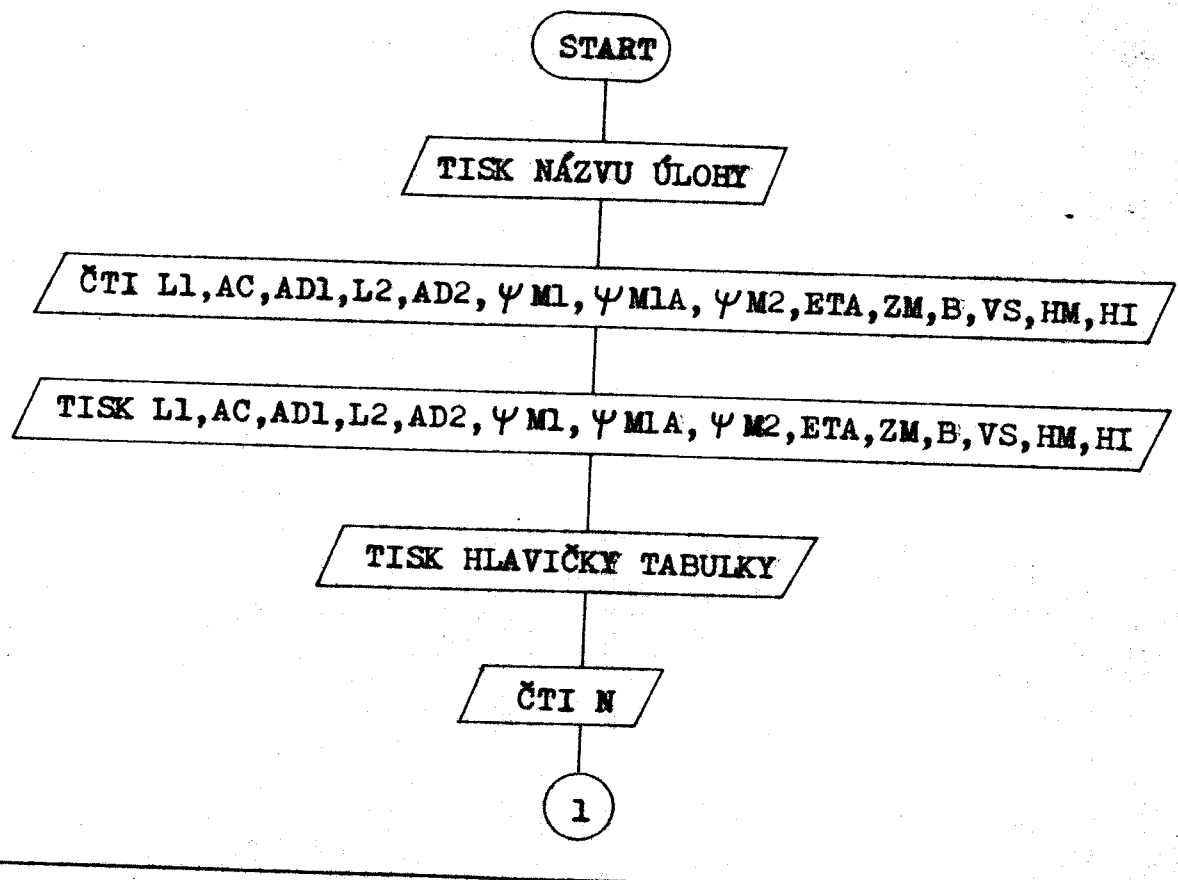
Označení veličin pro výpočet:

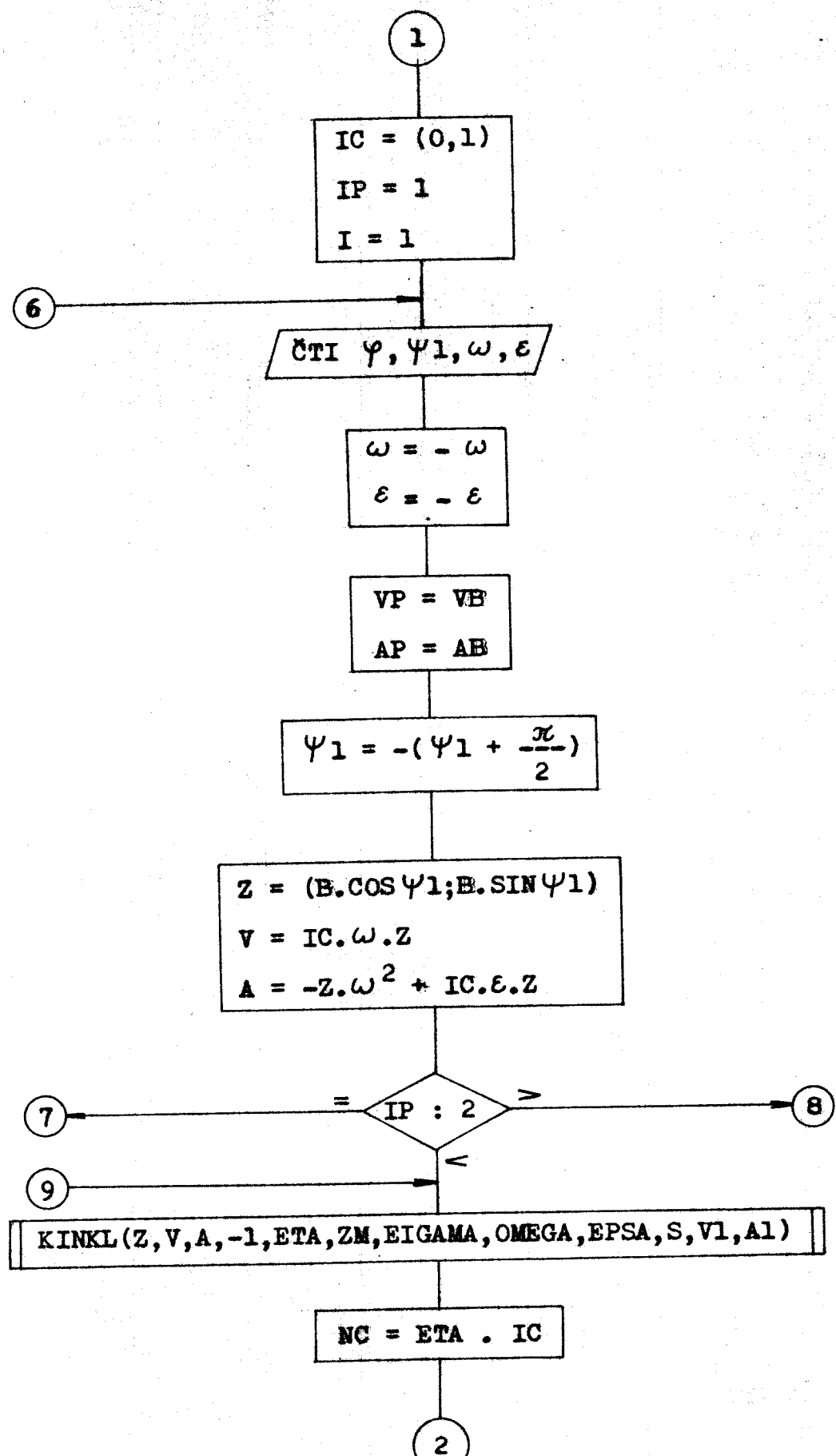
$m \sim HM$

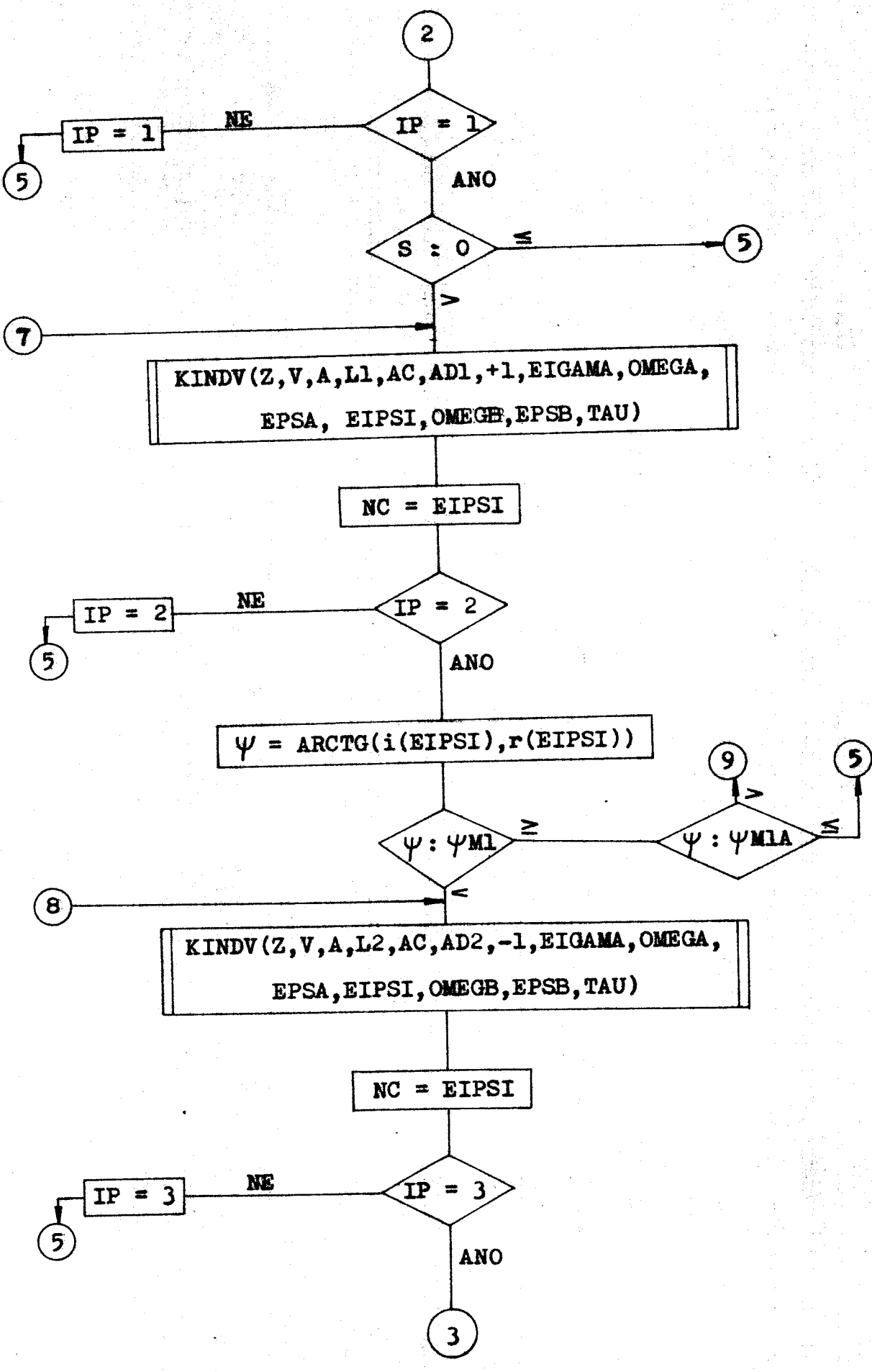
$I_N \sim HI$

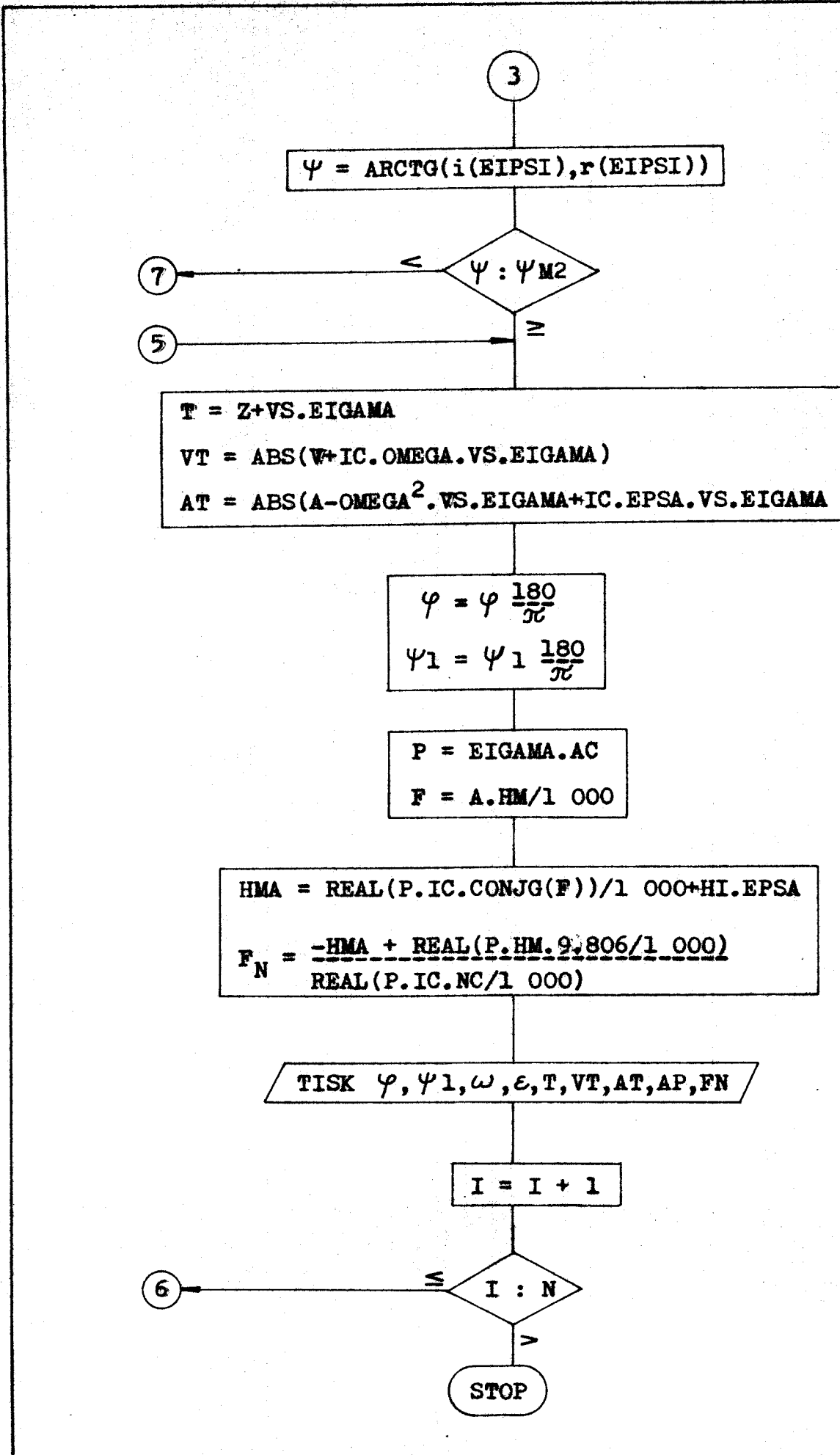
$M_O \sim HMA$

Vývojový diagram č. 4: Dynamické poměry v drážce vedení.









6. Vyhodnocení kinematické analýzy současného mechanismu

Dosažené výsledky lze shrnout do následujících bodů:

1) Zhodnocení dráhy savky

Průběh dráhy bodu S savky znázorňuje graf přílohy č. 8.

V intervalu 0-1 savka vykonává zpětný pohyb, který přispívá k oddělení archu. V bodě 1 se mění smysl pohybu a savka se zvedá. V intervalu bodu 6-7-8 savka stojí a v této době je arch oddělen vzduchovým polštářem od stolu papíru.

2) Zhodnocení dosažených výsledků z hlediska rychlostních poměrů v okamžiku předání

Rychlosť savky je graficky znázorněna v příloze č.7a. Při daném kroku savky $k=40 \text{ mm}$ je rychlosť v okamžiku předání $v_S = 0,475 \text{ m/s}$ a rychlosť dopravníku $v_D = 0,295 \text{ m/s}$. Z uvedených hodnot plyne, že není splněna základní podmínka pro předání archu na dopravník $v_S = v_D$. Vlivem rozdílu rychlosťí dojde ke zvlnění papíru, které se v krátkém intervalu vyrovná, protože po předání archu rychlosť savky prudce klesá na rozdíl od rychlosťi dopravníku, která po předání vzrůstá. Proto zvlnění není postřehnutelné.

Rychlosť savky má plynulý průběh kromě jedné oblasti, kde se vyskytuje skok v rychlosći. Pro ukázku jsou příslušné body vypsány do následující tabulky.

| $\varphi' [^\circ]$ | $v_x [\text{m s}^{-1}]$ |
|---------------------|-------------------------|
| 247 | -0,644 |
| 248 | -0,368 |
| 249 | -0,688 |
| 250 | -0,888 |
| 251 | -0,565 |

Skok je způsoben bubnovou vačkou, protože se vyskytuje již ve výpočtech kinematiky vahadla.

3) Zhodnocení průběhu zrychlení

a) na bubnové vačce:

Úhlové zrychlení na vahadle nemá plynulý průběh, což ukaže na nevhodně navrženou vačku z dynamického hlediska. V celém průběhu jednoho cyklu se vyskytuje několik oblastí, které mají následující průběh:

| $\varphi' [^{\circ}]$ | $\varepsilon [s^{-2}]$ |
|-----------------------|------------------------|
| 44 | 336 |
| 45 | - 54,9 |
| 46 | 985 |
| 47 | - 58 |
| 48 | 319,8 |

Tyto skoky mají vliv na rychlosť opotřebení drážky bubnové vačky.

b) ve vedení:

Skoky ve zrychlení, které se objevují už na vahadle, se dále přenáší na táhlo a tudíž mají vliv prostřednictvím kladíčky i na rychlosť opotřebení drážky vedení. Průběh zrychlení je rozkmitaný co se týče směru i velikosti. V průběhu zrychlení se rovněž vyskytují skoky, které jsou způsobeny náhradou křivky vedení přímkou a kruhovými oblouky. Pracovní dráha savky má takový tvar, že její nelze vytvořit jedinou křivkou. Přechod z jedné části vedení do druhé, tzn. změna křivosti křivky, způsobí místní skokovou změnu ve zrychlení, kterou je nutno brát s rezervou. Protože se jedná o pomaloběžný stroj, skoky ve zrychlení nejsou tak veliké a náhrada plně vyhovuje. K výše uvedeným hodnotám ε přísluší zrychlení a α_x ve vedení:

| φ' | $\alpha_x [ms^{-2}]$ | | |
|------------|----------------------|----|-------|
| 44 | -1,07 | 47 | 8,8 |
| 45 | 13,6 | 48 | -10,4 |
| 46 | -36,4 | | |

Je zřejmé, že skoky, vzniklé vlivem nesprávně navržené bubnové vačky, se přenáší i do drážky vedení.

4) Vyhodnocení dynamických poměrů v drážce vedení

Normálná dynamická síla je vlastně funkcí zrychlení. Nepravidelný průběh zrychlení proto také ovlivní průběh této síly. Největší význam pro opotřebení drážky má častá změna smyslu působící normálné dynamické síly, kterou nelze graficky postihnout.

7. Úpravy stávajících mechanismů

Podle vyhodnocených výsledků kinematické analýzy a dynamických poměrů je zřejmé, že jednotlivé části mechanismu nejsou navrženy ideálně. Návrhy na úpravu se týkají především bubnové vačky, která nejvíce ovlivňuje chod celého mechanismu. Dále se zkoumá možnost nahradit křivky vedení jednodušším tvarem a posuzují se alternativy, jakými lze dosáhnout splnění podmínky předání archu.

7.1. Návrh na úpravu bubnové vačky HK-1-1644039

K odstranění skoků ve zrychlení je nutno provést úpravu stávající vačky. Zjištění diferencí mezi jednotlivými souřadnicemi ukázalo, že diference mají kmitavý průběh velikosti, což se projeví až na zrychlení. Návrh nových souřadnic vychází z kinematické analýzy táhla, protože je nutno při úpravě zachovat souřadnice těch bodů, které zabezpečují správnou funkci stroje. Jedná se o body, kdy savka dosedá na stoh papíru ($\varphi' = 10^\circ$) a dobu klidu ($\varphi' 60^\circ$ až 70°), kdy se savka již zvedla a arch se odděluje od stohu vzduchovým polštářem. Posledním bodem je bod

předání archu ze savek na dopravník . Pro úpravu souřadnic vačky se tudíž křivka vačky rozdělí na několik částí, které jsou vždy zakončeny tímto důležitým bodem. Vlastní návrh nových souřadnic se provádí takovou úpravou jednotlivých diferencí, aby např. při rostoucím průběhu diferencí rostly diference plynule. Součet diferencí v jednotlivých oblastech však musí zůstat konstantní. Porovnáme-li upravené a původní souřadnice vačky, činí odchylka až 0,037 mm a v jednom bodě dokonce 0,1 mm. Souřadnice upravené vačky jsou součástí výkresu č.3-~~HP98~~ 03-35 v příloze. Výsledky kinematické analýzy pro upravenou bubnovou vačku jsou obsahem přílohy č.2b,3b. Rychlosť a zrychlení bodu S savky je graficky znázorněno v příloze 7b a průběh síly F_N v drážce vedení v příloze 8b.

7.2. Návrh na úpravu vedení

Požadovaný pracovní pohyb savky pro stávající mechanismus nedovoluje zásadní změnu tvaru drážky vedení. Dle obr.15 je tvar nahrazen dvěma přímkami a kruhovým obloukem a je zkoumán vliv této změny na rychlosť a zrychlení savky. Pokud by se rychlosť savky v okamžiku předání snížila, byla by tato úprava jednou z možností, jak dosáhnout podmínky předání.

Pro návrh nové drážky vedení se musí zachovat velikost zdvihu Z a dopravní vzdálenost savky. Dle obr.15 jsou pro náhradu zachovány body H(21;18,66), I(26;23,91), K(34;27,33) a L(73;27,23). Část vedení 4 nebyla změněna a je totožná s první částí vedení z obr.7. Část vedení 6 leží na přímce p_6 , která prochází body K a L a její rovnice má tvar

$$p_6 = y' = k_6 \cdot (x' - x_L) + y_L, \text{ kde } k_6 = \frac{y_L - y_K}{x_L - x_K}. \quad (90)$$

Přímka p_7 je kolmá na přímku p_6 a prochází bodem K

$$p_7 = y' = k_7 \cdot (x' - x_K) + y_K, \text{ kde } k_7 = \operatorname{tg}(\operatorname{arctg} k_6 + \frac{\pi}{2}). \quad (91)$$

Střed $S_3 = (x_{S3}, y_{S3})$ kružnice \bar{k}_3 se určí ze soustavy rovnic (90) a (91). Pomocí bodů I a S_3 lze určit poloměr r_3 kružnice \bar{k}_3

$$r_3 = \sqrt{(y_I - y_{S3})^2 + (x_I - x_{S3})^2}. \quad (92)$$

Vzhledem k velkému vlivu úpravy bubnové vačky na průběh zrychlení savky, nemá smysl provádět změnu tvaru vedení pro původní bubnovou vačku. Výpis programu a vlastní výpočet obsahuje příloha č. 5 a č. 6. Průběh rychlosti a zrychlení je graficky zpracován v příloze č. 9, průběh síly v příloze č. 10.

7.3. Úprava programu kinematické analýzy a programu dynamických poměrů

Změna souřadnic bubnové vačky nevyžaduje žádnou změnu ve stávajících výpočtových programech, ale zásah do tvaru drážky vedení si vynutil určité změny těchto programů. Tvar drážky se skládá z přímky, následuje kružnice a po ní opět přímka. V programu kinematické analýzy táhla musí být provedena změna v hlavním programu, kde je třetí vyvolání podprogramu KINDV nahrazeno vyvoláním podprogramu KINKL. Tato změna přináší další kontrolu parametru S.

Obdobnou změnu je nutno provést i v programu pro určení dynamických poměrů v drážce vedení. Uvedené změny jsou patrné z výpisů programů pro upravené vedení v příloze č. 5, což je kinematická analýza pro upravenou vačku i vedení, a v příloze č. 6, což je program pro výpočet dynamických poměrů v upravené drážce vedení při upravené bubnové vačce.

7.4. Vyhodnocení vlivu úprav na kinematické a dynamické poměry

Dosažené výsledky lze shrnout do následujících bodů:

1) Zhodnocení vlivu úpravy bubnové vačky

Rychlosť a zrychlení pro upravenou vačku jsou graficky znázorněny v příloze 7b. Rychlosť v okamžiku předání se úpravou vačky nemění. Na první pohled je zřejmé, že průběh zrychlení není kmitavý, ale plynulý. Dojde i ke zlepšení dynamických poměrů v drážce vedení, což ukazuje graf průběhu dynamické síly v příloze 8b a výsledek je názornější, pokud porovnáme průběh dynamické síly pro původní vačku a upravenou přímo ve výpočtech. Pro posouzení vlivu úpravy provedeme srovnání zrychlení v intervalu 43° až 48° s původní vačkou:

| $\psi' [^{\circ}]$ | $a_x [m s^{-2}]$ |
|--------------------|------------------|
| 43 | 3,292 |
| 44 | -0,0275 |
| 45 | -2,94 |
| 46 | -5,54 |
| 47 | -7,6 |
| 48 | -9,4 |

2) Zhodnocení vlivu úpravy tvaru drážky vedení

Změna tvaru vedení ovlivní tvar dráhy savky, především transportní část. Tato změna nemá negativní vliv na funkci nakládací hlavy, protože délka dráhy savky zůstala zachována. Dalším projevem úpravy vedení je změna průběhu rychlosti na savce, což se negativně projeví v bodě předání, kde vzroste rychlosť na $v_S = 0,515 \text{ m/s}$, ale mnohem rychleji klesá. Průběh zrychlení se příliš nezmění, pokud jej porovnáváme s průběhem zrychlení pro upravenou vačku a původní vedení.

3) Zhodnocení úpravy změnou mechanismu dopravníku

Jednou z možných úprav, kterou lze dosáhnout splnění

splnění podmínky pro předání archu $v_S = v_D$, je změna vzdálenosti L_1 středu ozubených kol mechanismu dopravníku. Tuto úpravu je možné zlepšit posunutím minima rychlosti z původních 180° na 210° . Změnou L_1 a posunutím minima se jednak zvětší časová reserva pro rovnání a jednak se zvětší rychlosť dopravníku v okamžiku předání. Rychlosť savky v okamžiku předání činí $v_S = 0,475 \text{ m/s}$ a dle přílohy č.12 jsou možné rychlosti dopravníku pro předání následující:

$$v_{DI} = 0,295 \text{ m/s},$$

$$v_{DII} = 0,295 \text{ m/s},$$

$$v_{DIII} = 0,381 \text{ m/s},$$

$$v_{DIV} = 0,3975 \text{ m/s}.$$

Tento úpravou je možné se částečně přiblížit k podmínce předání a má význam pro výkon stroje do 12 000 /hod. Pro větší výkony se již nedodrží minimální časy pro rovnání.

4) Zhodnocení úpravy polohy nakládací hlavy

Změnou polohy nakládací hlavy je možné posunout okamžik předání do menších rychlostí savky. Protože za místem předání rychlosť prudce klesá, činilo by posunutí pouze několik stupňů (několik mm). Zároveň by bylo nutno provést natočení mechanismu dopravníku takovým způsobem, aby novému místu předání příslušela původní rychlosť dopravníku pro předání.

Posunutí by činilo:

a) pro původní vačku a pův. mechanismus dopravníku (v_{DI})

$$\Delta x = 6 \text{ mm } (13^\circ \text{ pootočení stroje})$$

b) pro původní vačku a upravený dopravník (v_{DIV})

$$\Delta x = 3,66 \text{ mm } (7^\circ)$$

c) pro upravenou vačku a původní dopravník

$$\Delta x = 5,56 \text{ mm } (12^\circ)$$

d) pro upravenou vačku a upravený dopravník

$$\Delta x = 3,56 \text{ mm } (7^\circ).$$

8. Závěr

V současné době se výrobci tiskových strojů snaží o zvýšení výkonu maloformátových strojů. Naše stroje AD 414 a AD 514 mají sice světovou úroveň, ale musí držet krok s dalším vývojem tiskových strojů.

V předložené diplomové práci byla provedena kinematická analýza mechanismů nakládací hlavy a pohonu dopravníku nekladče tiskových strojů AD 414 a AD 514 a sledovány dynamické poměry ve vedení savky. Oba mechanismy byly sledovány a zhodnoceny z hlediska funkční návaznosti. Byly sestaveny matematické modely a výpočtové programy, které lze dále využít např. pro orientační výpočet kinematických poměrů nakládání pro připadné změny v obou mechanismech. Správnost programů byla ověřena konkrétním výpočtem.

Výpočet nám ukázal, jakou dráhu vlastně savka vykonává během jednoho cyklu. Z hlediska funkční návaznosti bylo zjištěno, že rychlosť savky v okamžiku předání je větší než rychlosť dopravníku a tudíž není splněna základní podmínka pro předání. Průběh vypočítaného zrychlení dokázal, že bubnová vačka byla nesprávně navržena a byl podkladem pro návrh úpravy vačky. Provedenou úpravou se dosáhlo nejen předpokládaného zlepšení kinematiky savky, ale i dynamiky ve vedení savky, což vede ke zmenšení opotřebení a prodloužení životnosti drážky bubnové vačky a drážky vedení.

K dosažení stejných rychlosťí v okamžiku předání byly navrženy úpravy mechanismu dopravníku (změna osové vzdálenosti

ozubených kol a posunutí minima rychlosti), úprava polohy nekládací hlavy (spolu s nafázováním mechanismu pohonu dopravníku) a úprava tvaru vedení. Z výsledků úprav vyplynulo, že je možné se přiblížit k podmínce předání nebo ji dokonce dodržet.

Dosažení podmínky předání by bylo možné zajistit případným návrhem nového tvaru drážky bubnové vačky nebo nového mechanismu, jehož návrh by vycházel z výsledků provedené kinematické analýzy.

Použitá literatura

/1/ Prášil, L. : Kinematická analýza pohonu dopravníku
nakladače offsetových strojů AD 714 a
AD 724 - KST 75-09

/2/ Volf, J. : Rozbor funkce rovnání nakladače
KST 76-13

/3/ Koževníkov, S.N. : Teorie mechanismů strojů

/4/ Olehla, M. : Použití Fortranu v praxi

/5/ Volf, J. : Typografia

/6/ Rektorys, K. : Přehled užité matematiky

/7/ Bronštejn, I.N. : Příručka matematiky pro inženýry
a pro studující na vysokých školách technických